

初期ダイナミクス（理論）

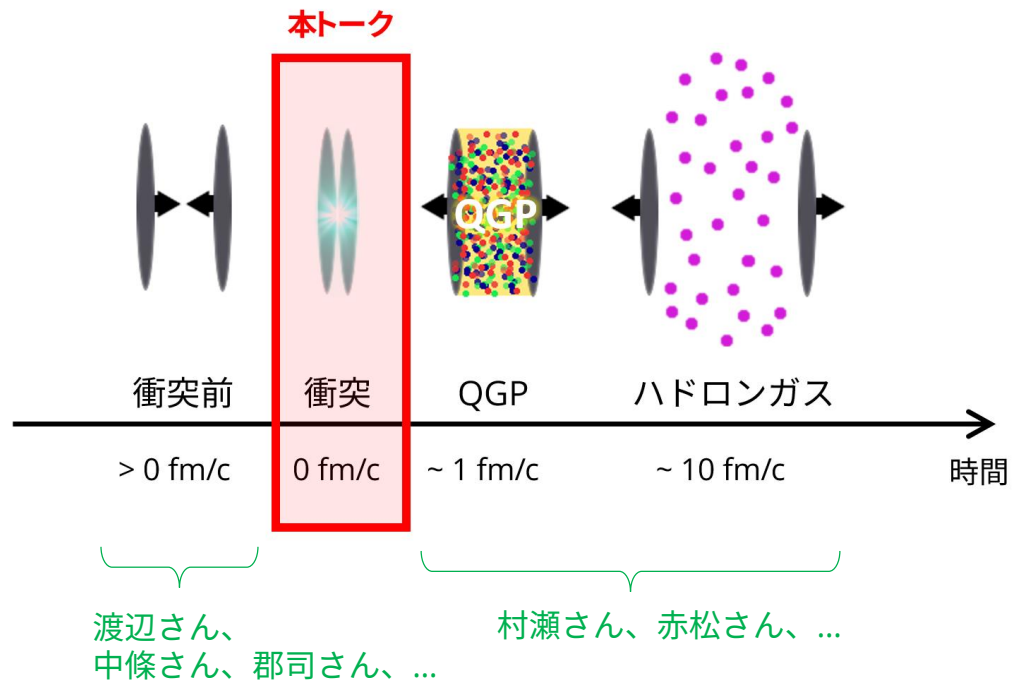
田屋 英俊

(慶應大)

今日の話

目的:

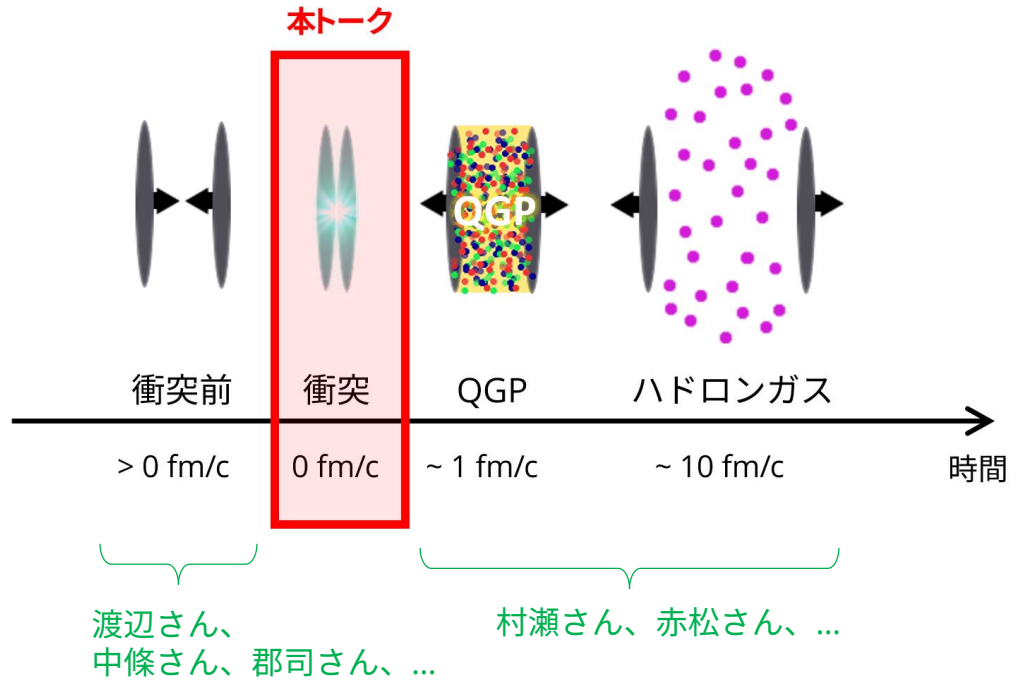
重イオン衝突の初期
ダイナミクスの基礎と発展



今日の話

目的:

重イオン衝突の初期
ダイナミクスの基礎と発展



なぜ初期ダイナミクス?:

すごい非平衡なので、すごい「極端な状況」 or 「強い場」が実現
⇒ 「極端」 ≠ 「大事じゃない/楽しくない」。むしろ逆で「大事かつ楽しい」

例1) QGP生成過程という重イオン衝突の「ブラックボックス」の解明

⇒ 強いカラー場

例2) 他の物理系では実現できない「極限状況」を作る道具 = 新物理のチャンス

⇒ 強い電磁場、強い渦度場

目次

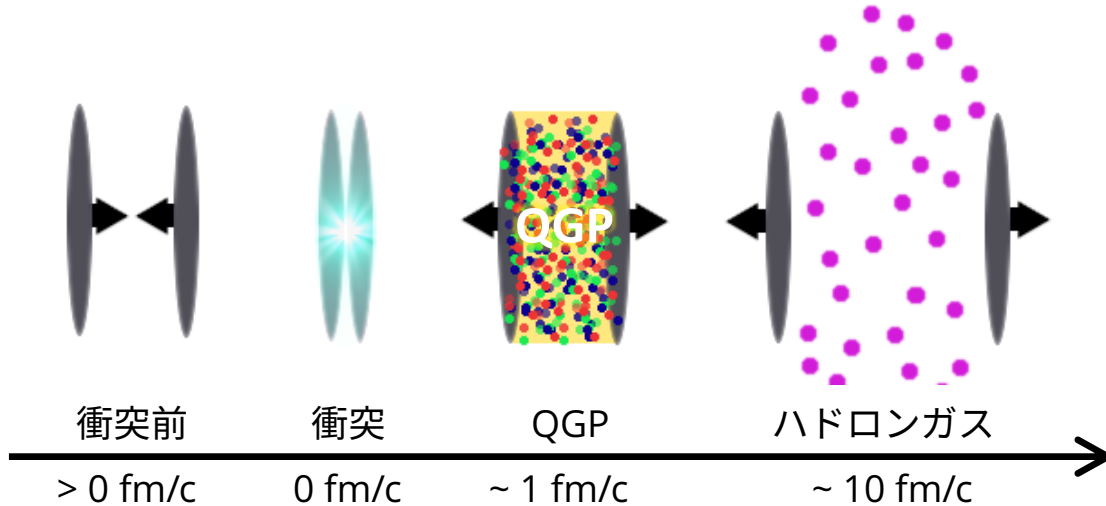
1. 強いカラー場

2. 強い電磁場

3. 強い渦度場

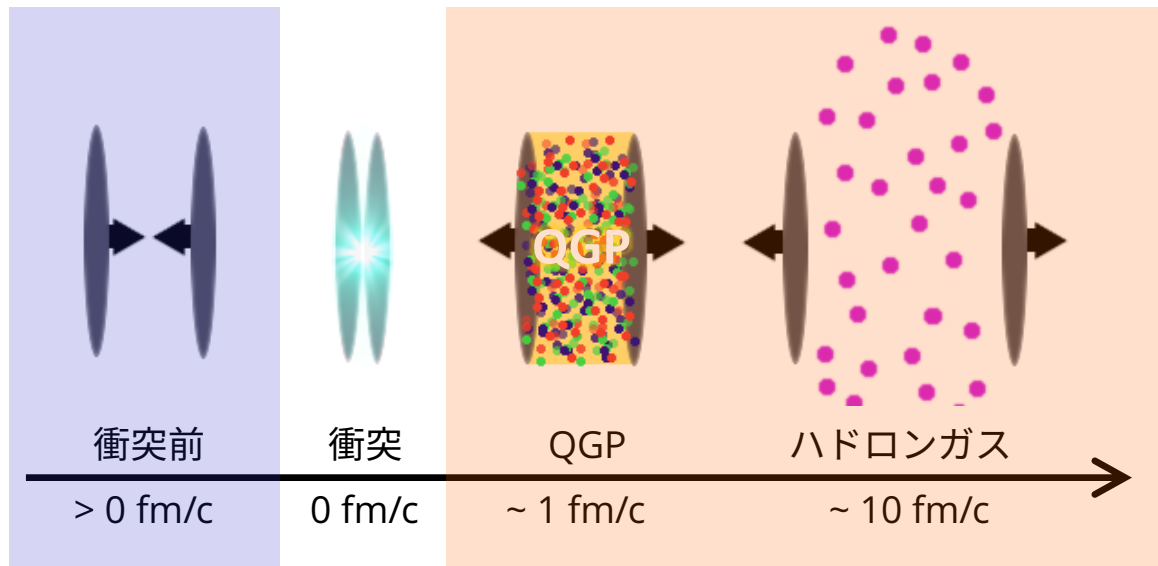
基礎(1/3): QGP生成過程の問題

重イオン衝突の時空発展の「標準模型」



基礎(1/3): QGP生成過程の問題

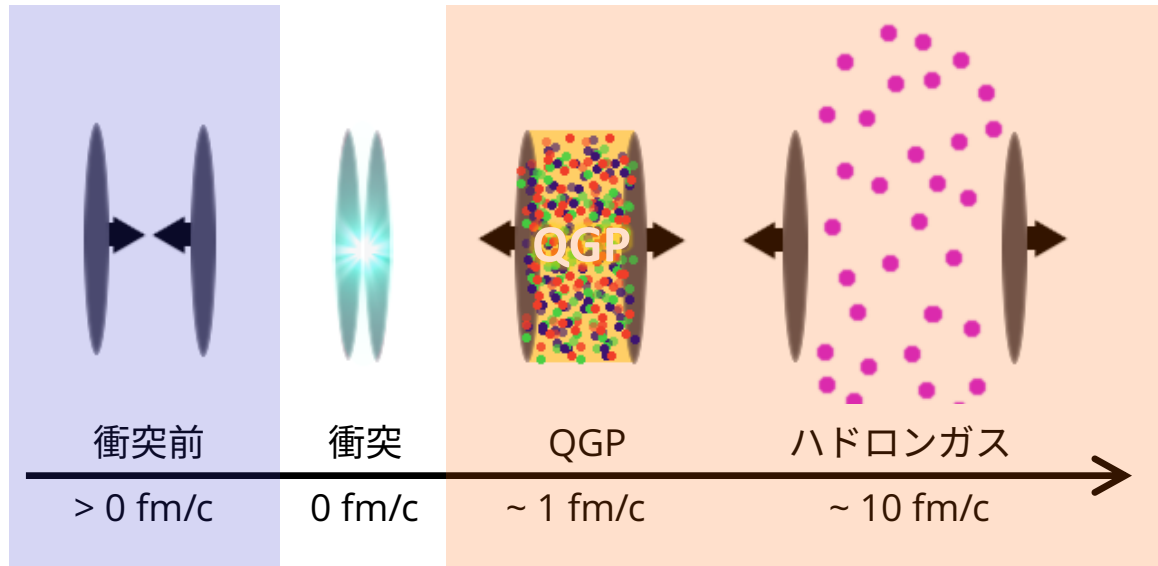
重イオン衝突の時空発展の「標準模型」



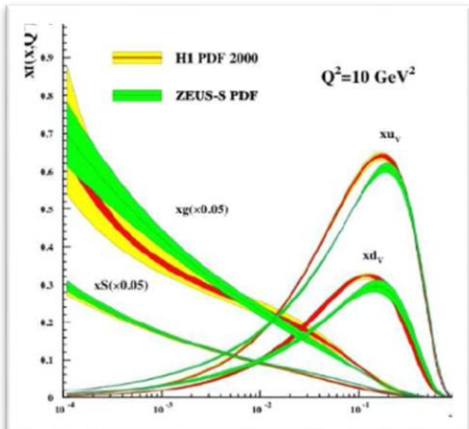
- & ■ は (比較的に) よくわかっている

基礎(1/3): QGP生成過程の問題

重イオン衝突の時空発展の「標準模型」

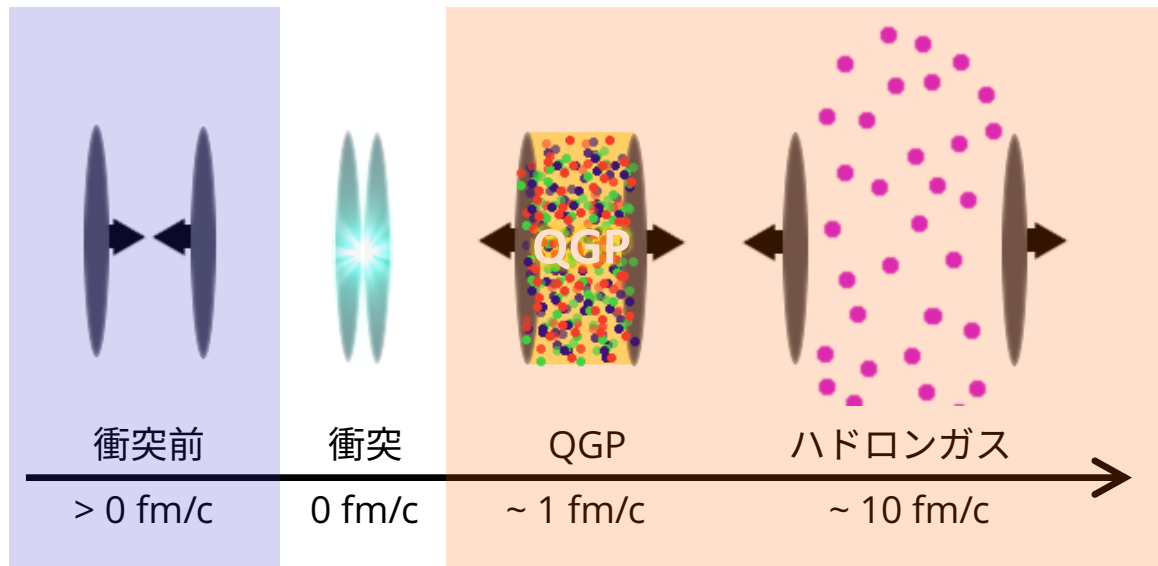


- & ■ は (比較的に) よくわかっている

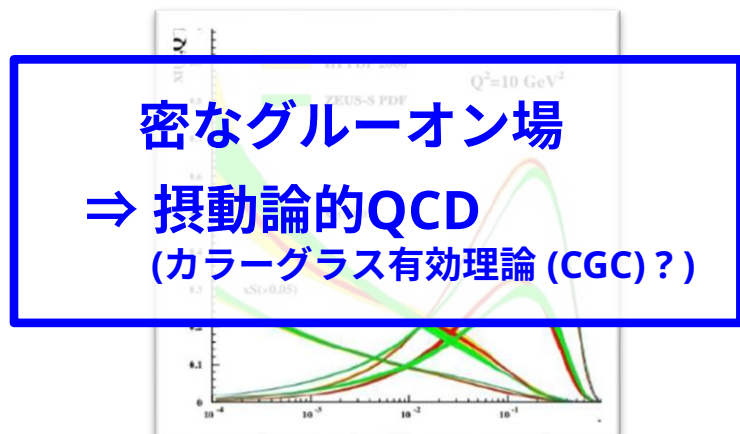


基礎(1/3): QGP生成過程の問題

重イオン衝突の時空発展の「標準模型」

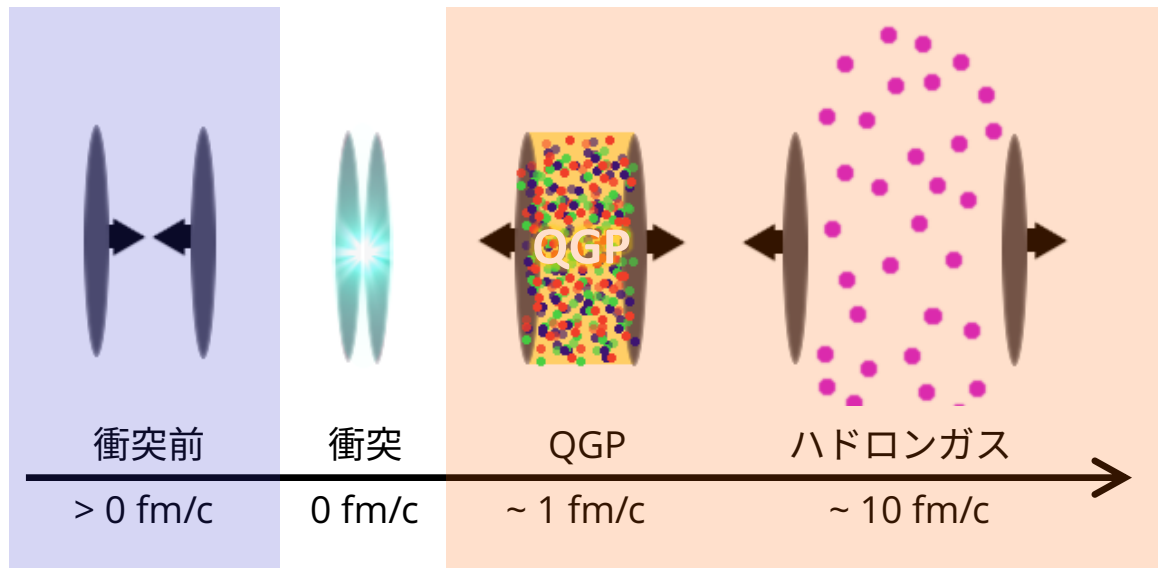


- & ■ は (比較的に) よくわかっている

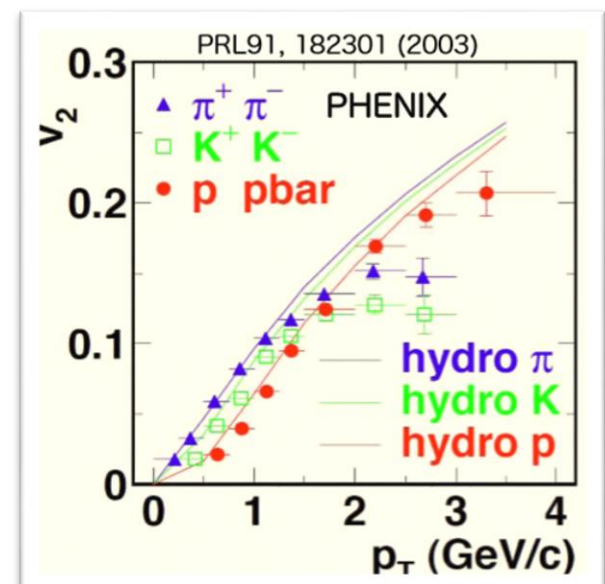
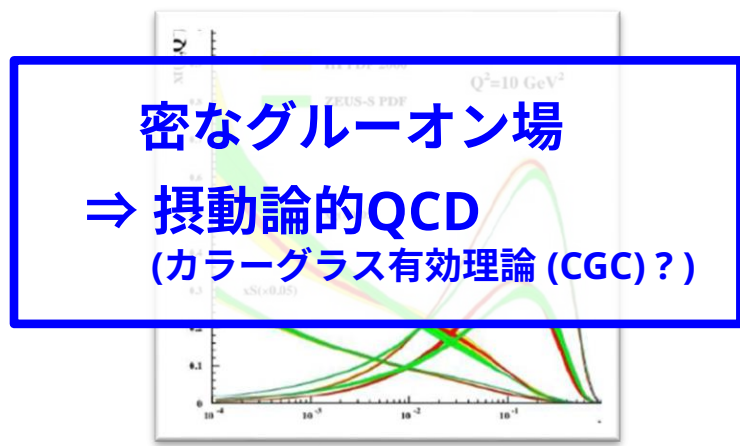


基礎(1/3): QGP生成過程の問題

重イオン衝突の時空発展の「標準模型」

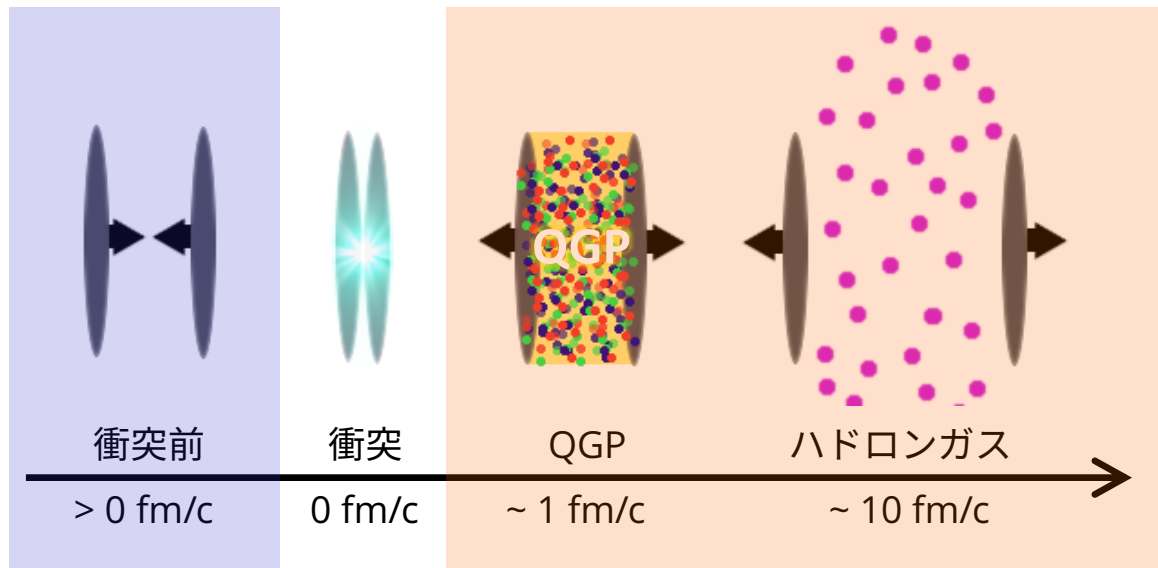


- & ■ は(比較的に)よくわかっている

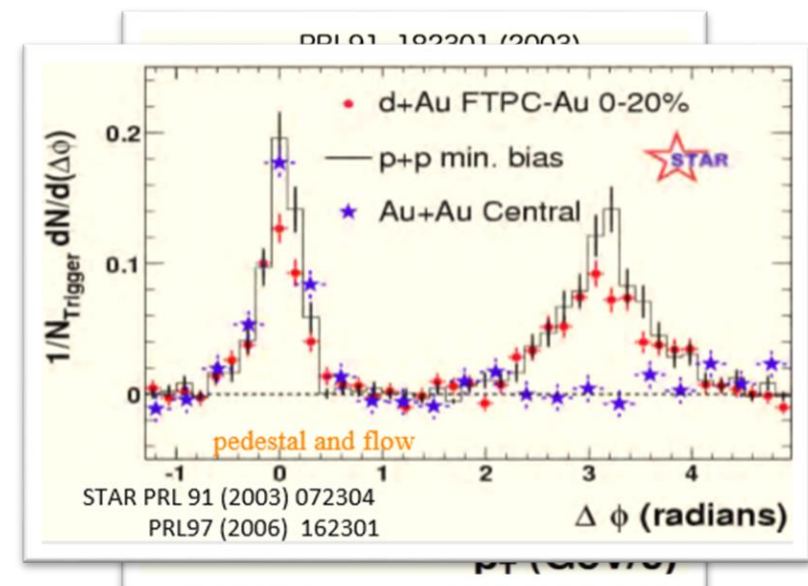
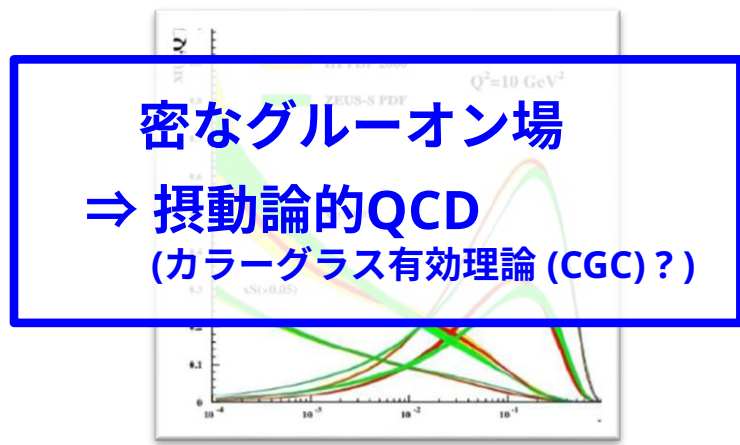


基礎(1/3): QGP生成過程の問題

重イオン衝突の時空発展の「標準模型」

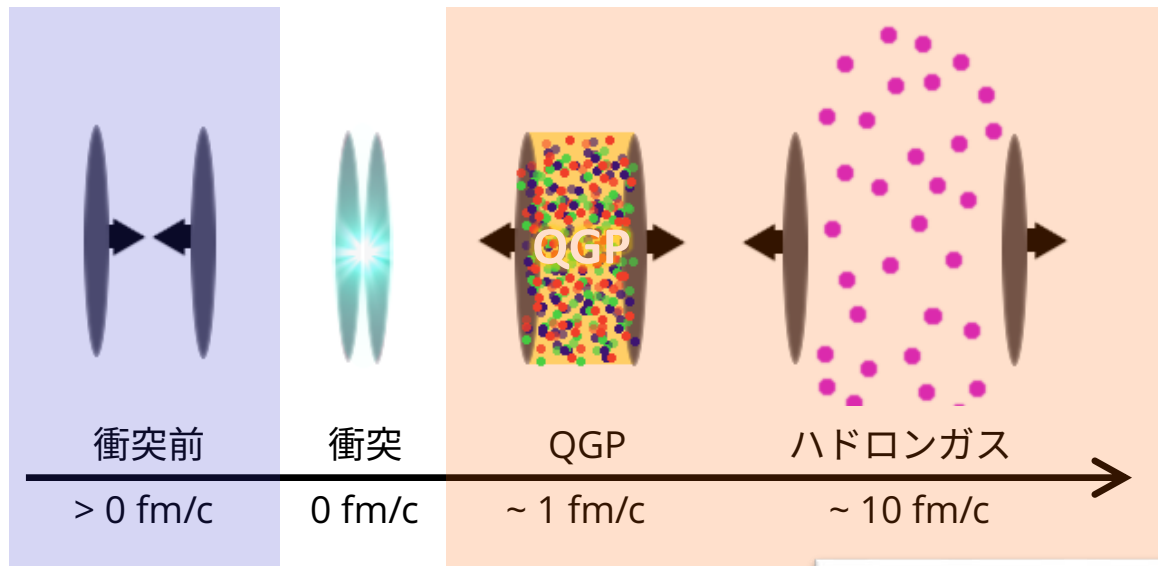


- & ■ は(比較的に)よくわかっている

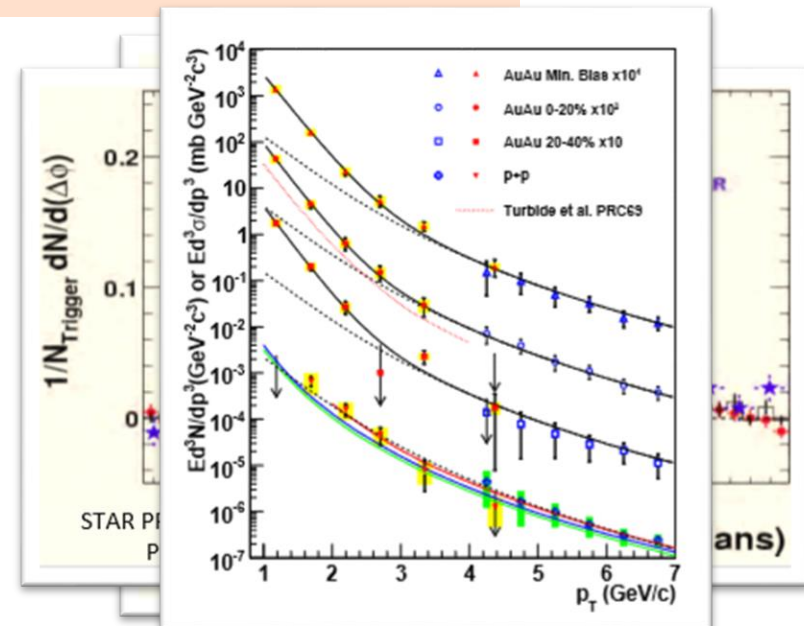
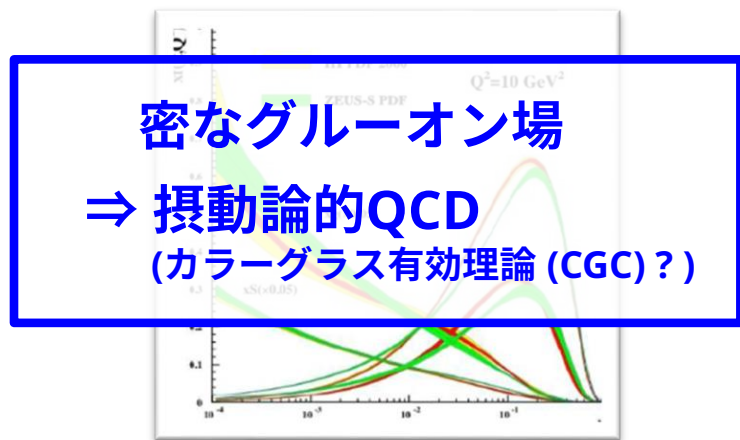


基礎(1/3): QGP生成過程の問題

重イオン衝突の時空発展の「標準模型」

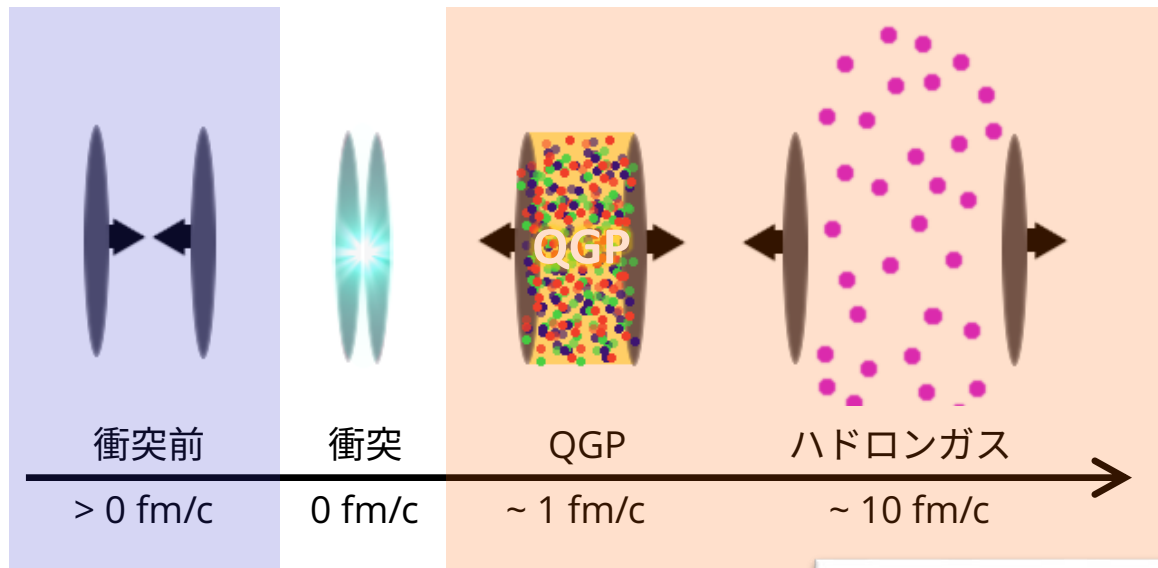


- & ■ は(比較的に)よくわかっている

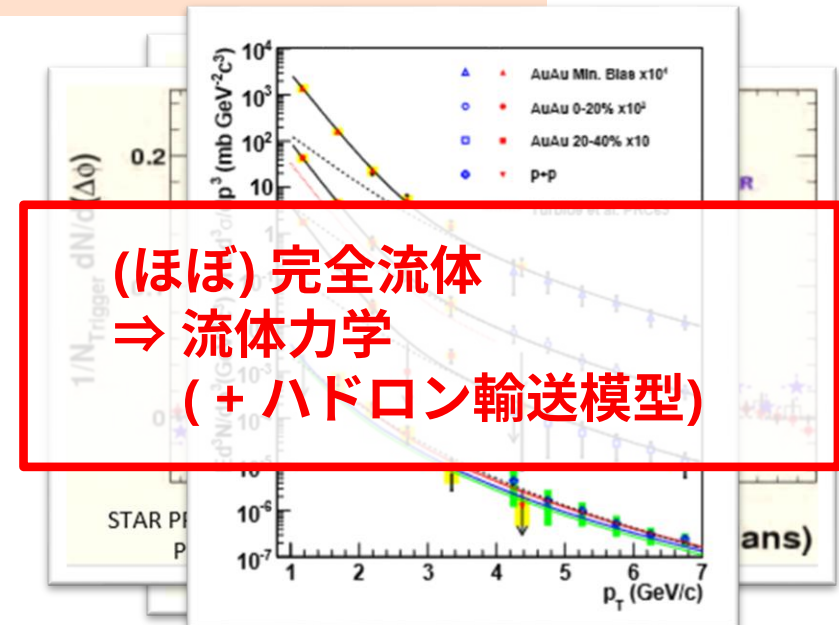
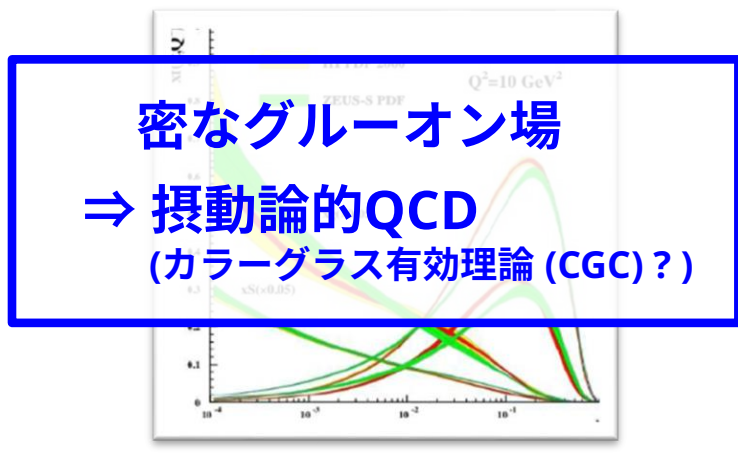


基礎(1/3): QGP生成過程の問題

重イオン衝突の時空発展の「標準模型」

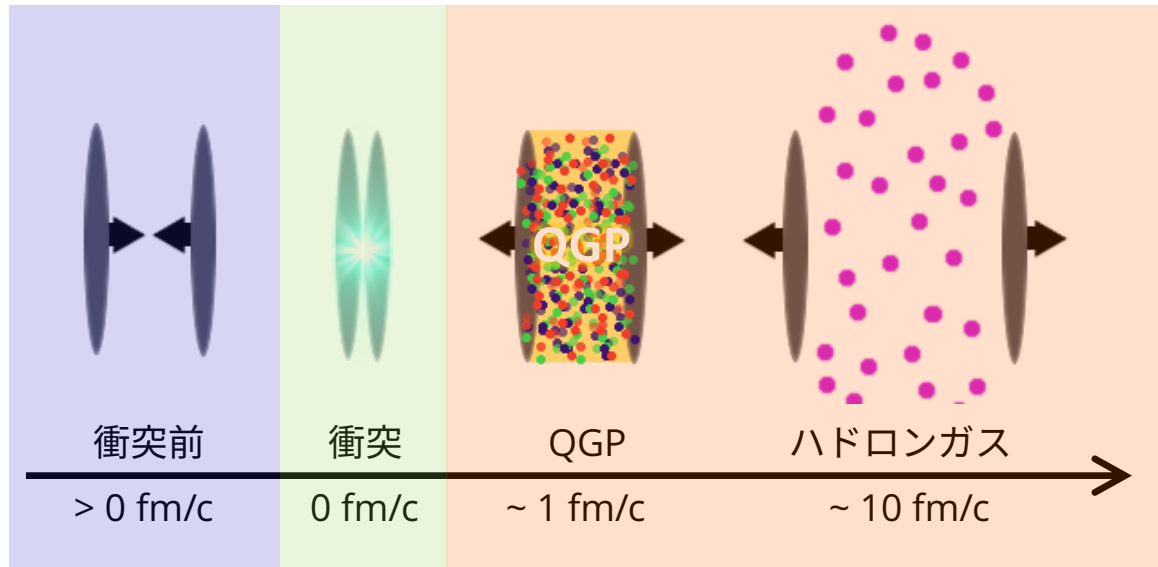


- & ■ は(比較的に)よくわかっている



基礎(1/3): QGP生成過程の問題

重イオン衝突の時空発展の「標準模型」



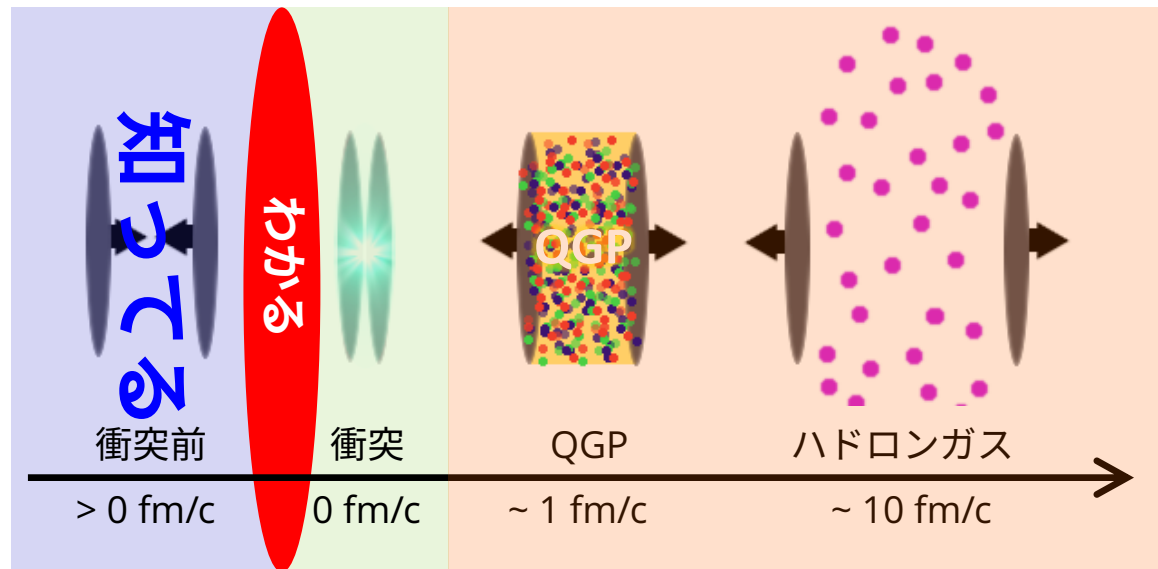
- & ■ は(比較的に)よくわかっている
- は(万人が納得する)物理描像・模型は存在しない (=: QGP生成過程の問題)

未解明な問い合わせの数々

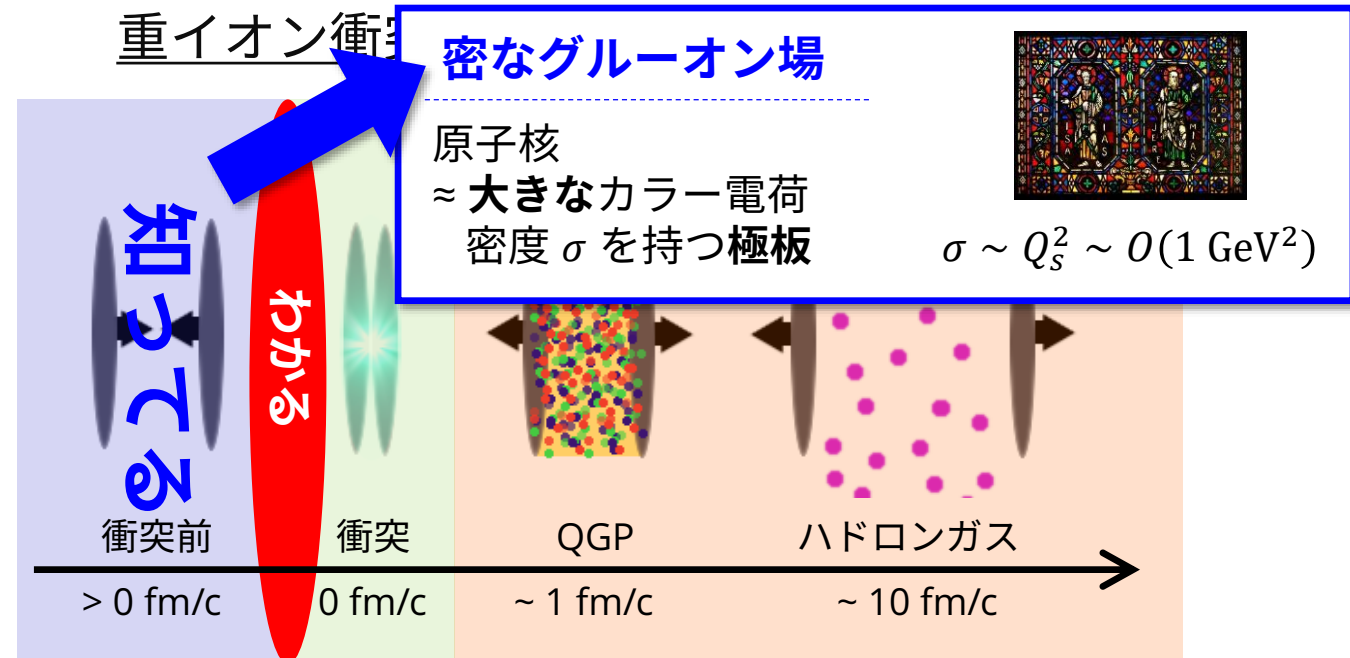
- 大量のクォークやグルーオン粒子はどうやって作られるのか？
- どのように熱平衡化し(あるいはせず)、どのように流体的なQGPができるのか？
- 実験解析が示唆する $O(1 \text{ fm/c})$ の早い熱化(流体化)は可能か？
- 流体模型の信頼できる初期条件はどう作れば良いのか？
- 実験的にはどうプローブすれば良いのか？
- ...

基礎(2/3): 衝突直後の強いカラー場

重イオン衝突の時空発展の「標準模型」



基礎(2/3): 衝突直後の強いカラー場



基礎(2/3): 衝突直後の強いカラー場

重イオン衝突



密なグルーオン場

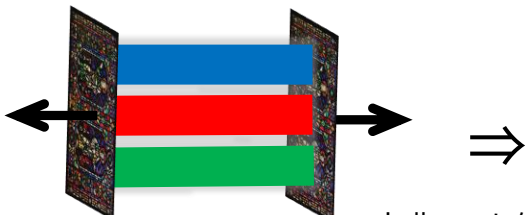
原子核
≈大きなカラー電荷
密度 σ を持つ極板



$$\sigma \sim Q_s^2 \sim O(1 \text{ GeV}^2)$$

“カラーコンデンサー” ⇒ 強いカラー場 (Glasma)

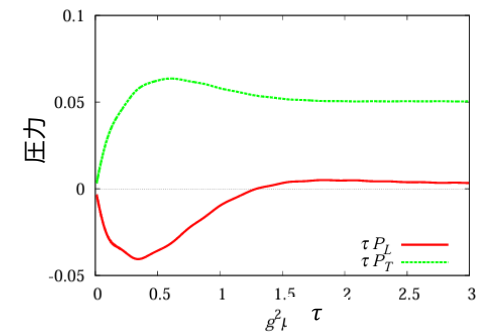
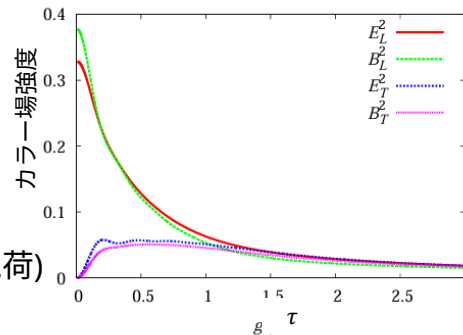
衝突後 ≈



古典YMを解く
(B.C.: 極板のカラー電荷)

[Fukushima, Gelis (2011)]

unit in $Q_s = O(1 \text{ GeV})$



基礎(2/3): 衝突直後の強いカラー場

重イオン衝突

密なグルーオン場



原子核
≈大きなカラー電荷
密度 σ を持つ極板

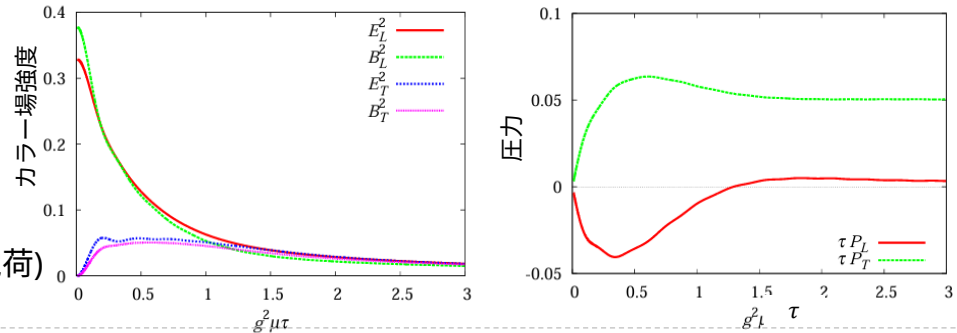


$$\sigma \sim Q_s^2 \sim O(1 \text{ GeV}^2)$$

“カラーコンデンサー” ⇒ 強いカラー場 (Glasma)



古典YMを解く
(B.C.: 極板のカラー電荷)



・大事な点: (1) 普通の電磁気と同じく flux tube 状の縦方向のカラー場が極板間に生成 (=: Glasma)

(2) カラー場は強い ⇐ カラー電荷密度が大きい $E \propto \sigma \propto Q_s = O(1 \text{ GeV})$ [Lappi, McLerran (2006)]

(3) 電場と平行な磁場がある ⇐ グルーオンの非可換性

$$D_\mu \tilde{F}^{\mu\nu} = 0 \Rightarrow \nabla \cdot \mathbf{E} = ig[A^i, E^i] \& \nabla \cdot \mathbf{B} = ig[A^i, B^i]$$

(4) とても非等方的 ⇐ $P_T = (E_z^2 + B_z^2) > 0$ だけど $P_L = (E_T^2 + B_T^2) - (E_z^2 + B_z^2) < 0$

(5) しかし、ブースト不变に膨張 ⇒ このままだと絶対に等方化しない ⇒ 何かが必要

・注意: Flux tube のアイデア自体は古いし、現象論的にはよくある話 Lund模型, Low-Nussinov model

新しい点: 平行磁場の存在、CGC初期条件で古典YMを解けば精密 (\neq 現象論) に計算可

基礎(3/3): 現状の理解

今のところ、みんなが同意していること

QGP生成過程

- = 強いカラー「場」 (= Glasma) を初期条件として、
それがどうやって「粒子」に壊れ、
それが「熱化(あるいは等方化、流体化)」してQGPになるか？

基礎(3/3): 現状の理解

今のところ、みんなが同意していること

QGP生成過程

= 強いカラー「場」 (= Glasma) を初期条件として、
それがどうやって「粒子」に壊れ、
それが「熱化(あるいは等方化、流体化)」してQGPになるか？

- ・万人が納得する回答は(今現在は) ない(が、着実に理解は進展してる)
- ・代表的なシナリオ:

(1) 強いカラー場による不安定性

[Romachke, Venugopalan (2006)]
[Berges, Sheffler, Sexty (2008)] [Fujii, Itakura (2008)] ...

- 磁場による不安定性 (Weibel, Nielsen-Olesen) が等方化を促す
(× 10~100fmくらい必要で遅すぎだし、粒子生成しない...)

- 電場による不安定性 (Schwinger) による粒子生成 [Kerman, Matsui, Gatoff (1987)]
[Tanji (2008)] [HT (2017)] ...
(× 熱化/等方化はしない...)

(2) Boltzmann的な粒子描像(ボトムアップ熱化)

[Baier et al. (2001)]

- 膨張で早期に希薄化 ⇒ 粒子描像OK ⇒ パートン散乱で熱化(と粒子生成)
(× 5fm/cくらい必要でちょっと遅い...)

(3) 流体化

- 熱化/等方化しなくても実は流体は適用化? [Kurkela, Zhu (2015)] [Romachke (2017)]

基礎(3/3): 現状の理解

今のところ、みんなが同意していること

QGP生成過程

= 強いカラー「場」(= Glasma) を初期条件として、
それがどうやって「粒子」に壊れ、
それが「熱化(あるいは等方化、流体化)」してQGPになるか？

- ・万人が納得する回答は(今現在は) ない(が、着実に理解は進展してる)
- ・代表的なシナリオ:

(1) 強いカラー場による不安定性

[Romachke, Venugopalan (2006)]
[Berges, Sheffler, Sexty (2008)] [Fujii, Itakura (2008)] ...

- 磁場による不安定性 (Weibel, Nielsen-Olesen) が等方化を促す
(× 10~100fmくらい必要で遅すぎだし、粒子生成しない...)

- 電場による不安定性 (Schwinger) による粒子生成
(× 熱化/等方化はしない...)

(2) Boltzmann的な粒子描像(ボトムアップ熱化)

[Baier et al. (2001)]

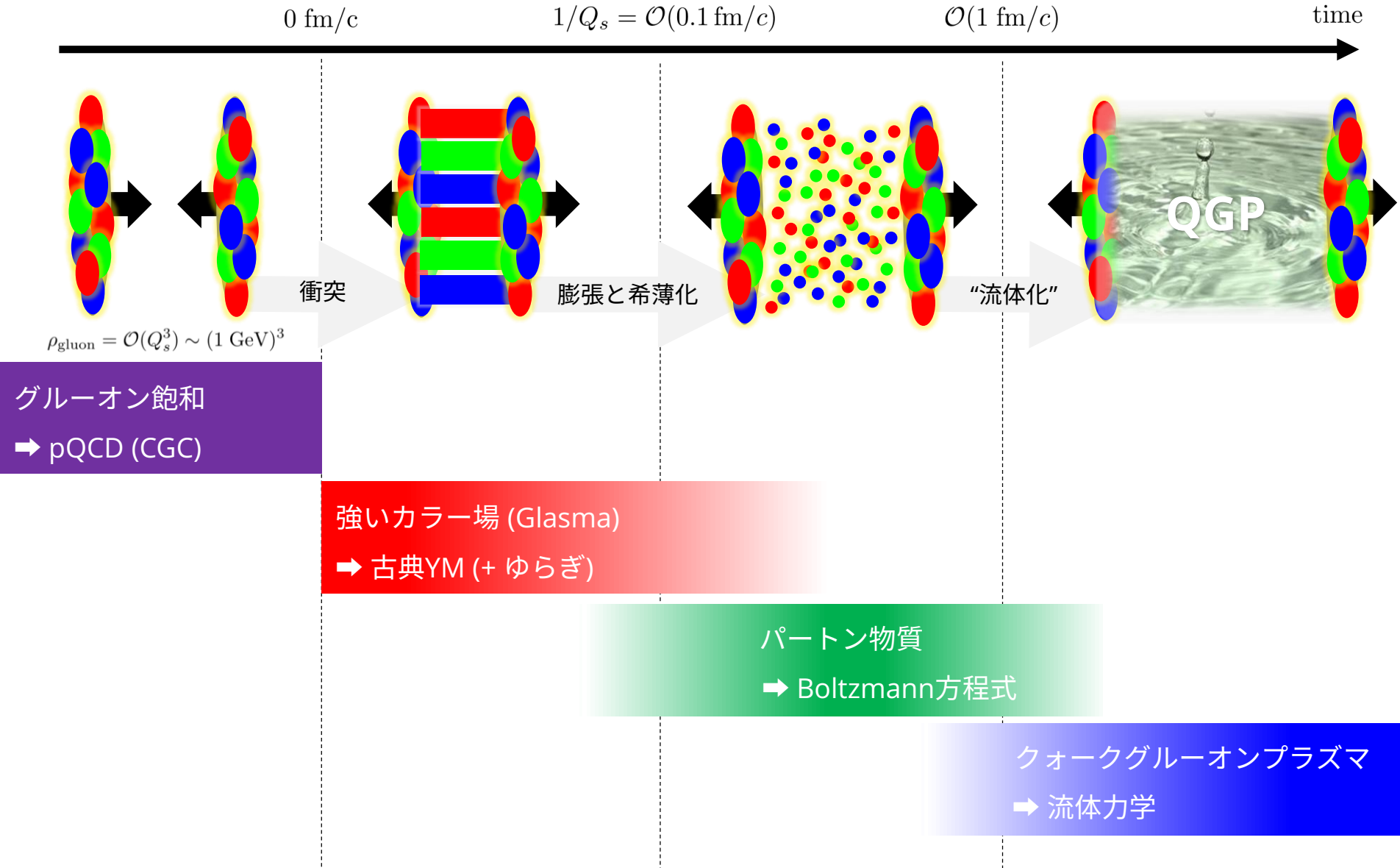
- 膨張で早期に希薄化 ⇒ 粒子描像OK ⇒ パートン散乱で熱化(と粒子生成)
(× 5fm/cくらい必要でちょっと遅い...)

(3) 流体化

- 熱化/等方化しなくても実は流体は適用化？ [Kurkela, Zhu (2015)] [Romachke (2017)]

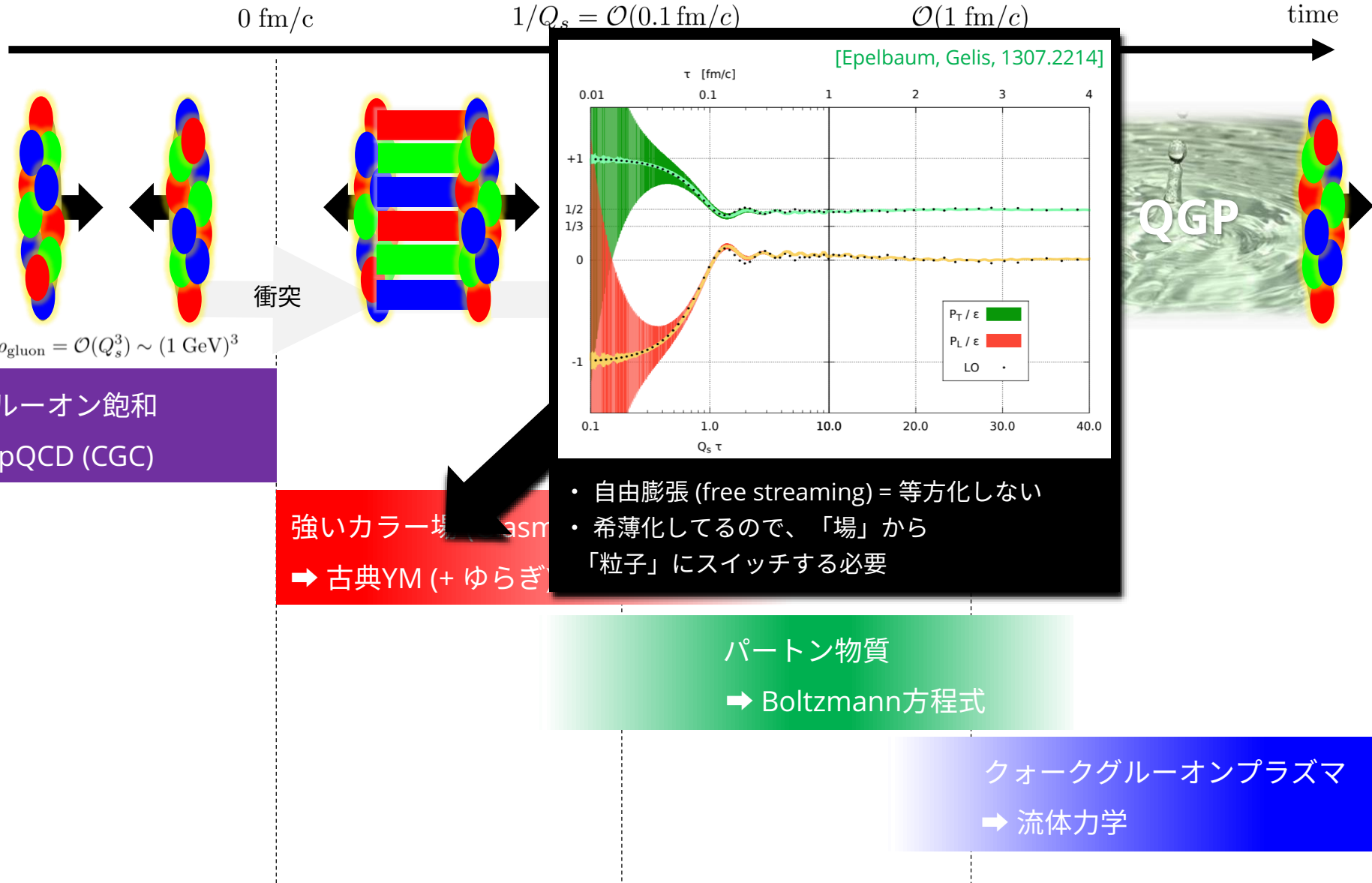
発展(1/3): Boltzmann + 流体化 の描像

[Berges, Heller, Mazeliauskas, Venugopalan (2020)]



発展(1/3): Boltzmann + 流体化 の描像

[Berges, Heller, Mazeliauskas, Venugopalan (2020)]



発展(1/3): Boltzmann + 流体化 の描像

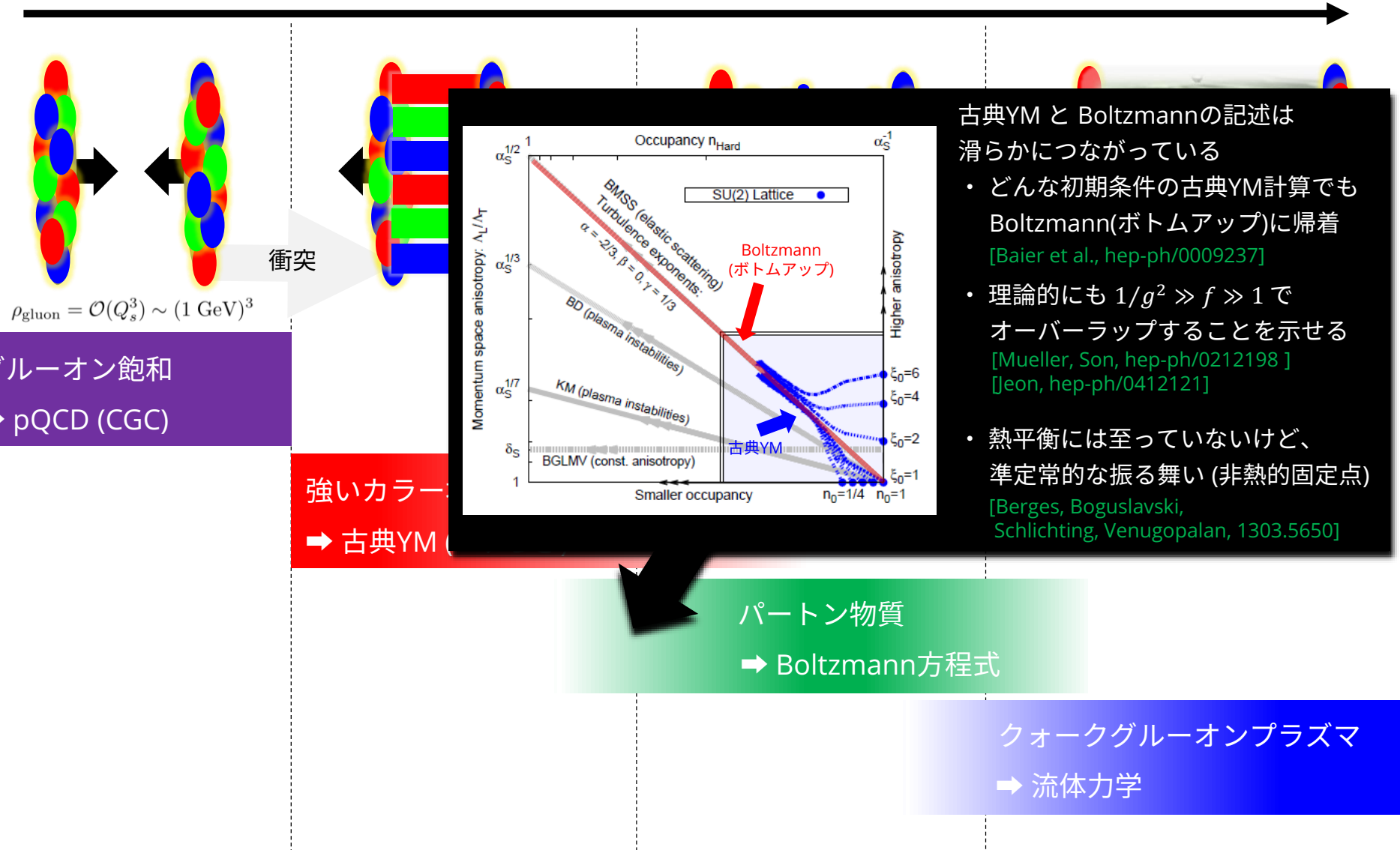
[Berges, Heller, Mazeliauskas, Venugopalan (2020)]

0 fm/c

$1/Q_s = \mathcal{O}(0.1 \text{ fm}/c)$

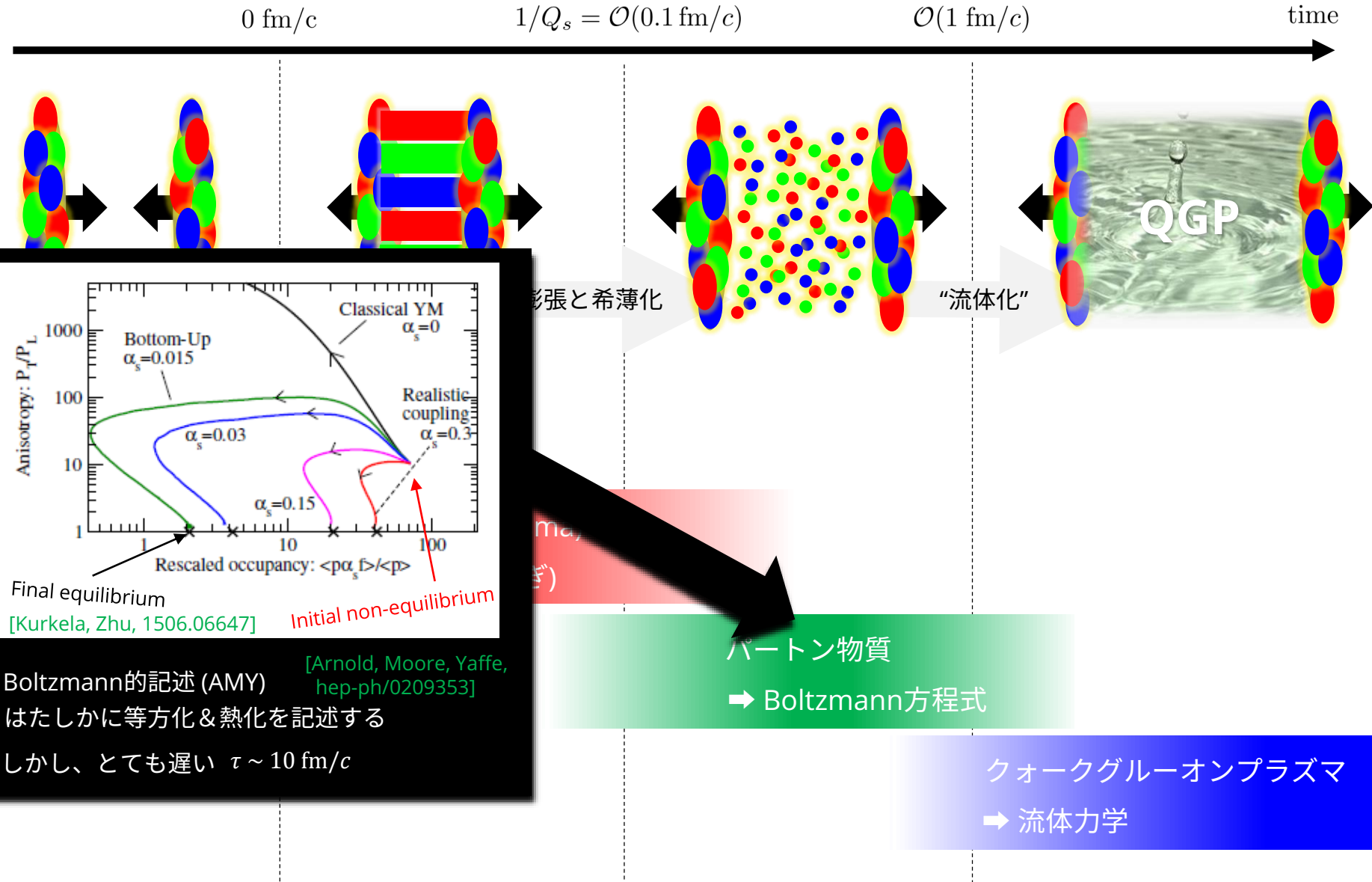
$\mathcal{O}(1 \text{ fm}/c)$

time



発展(1/3): Boltzmann + 流体化 の描像

[Berges, Heller, Mazeliauskas, Venugopalan (2020)]



発展(1/3): Boltzmann + 流体化 の描像

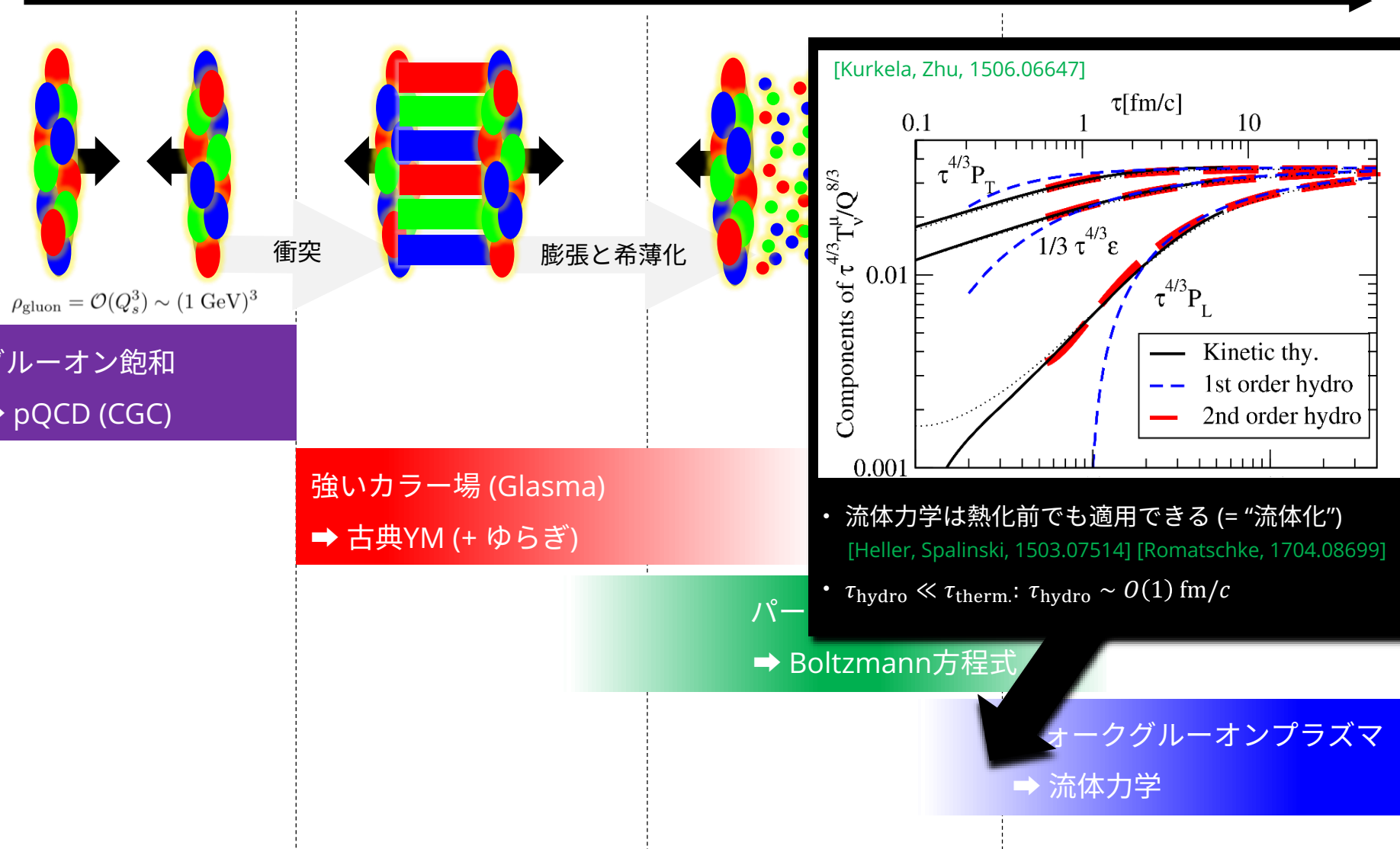
[Berges, Heller, Mazeliauskas, Venugopalan (2020)]

0 fm/c

$1/Q_s = \mathcal{O}(0.1 \text{ fm}/c)$

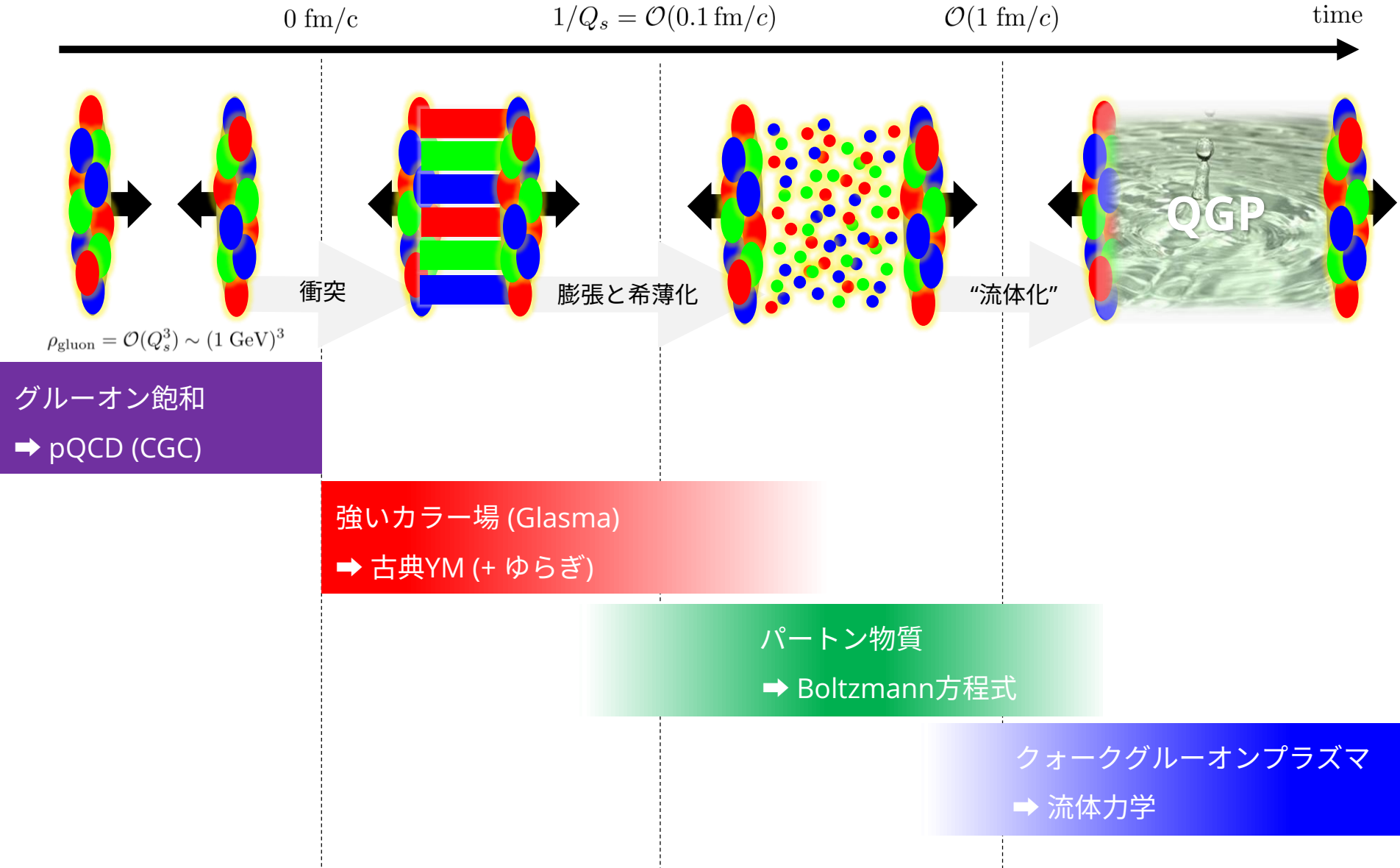
$\mathcal{O}(1 \text{ fm}/c)$

time



発展(1/3): Boltzmann + 流体化 の描像

[Berges, Heller, Mazeliauskas, Venugopalan (2020)]



発展 (2/3): 批判 / open question

- 「Boltzmann + 流体化」の描像はそれっぽいが、これで完全決着かと言わると...
- 例えば ...

Q: 弱結合でしかダメですよね？

→ そうだが、強結合は模型(e.g. AdS/CFT)に頼るしかない
ただ、弱結合と傾向は同じっぽいので外挿できそう(?)

Q: 流体化って本当にマトモ？

→ 簡単な設定(e.g. 1次元Bjorken膨張)ではたしかっぽい
現実的な場合(e.g. 3次元膨張、non conformal)はこれから

Q: クォーク生成は？ ⇒ 基本的にはグルオンしか考えてない

Q: で、強いカラー場の役割は？

→ 謎。だけど何もないのは変
少なくとも電場の不安定性(Schwinger効果)は効く

Q: Boltzmann以外の描像は死んだの？

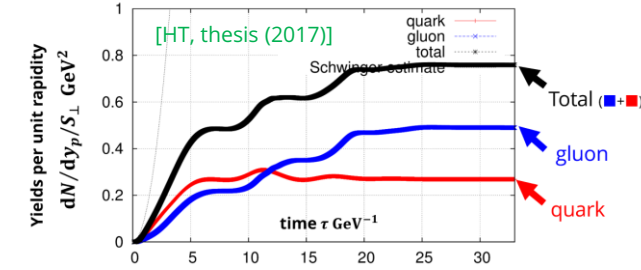
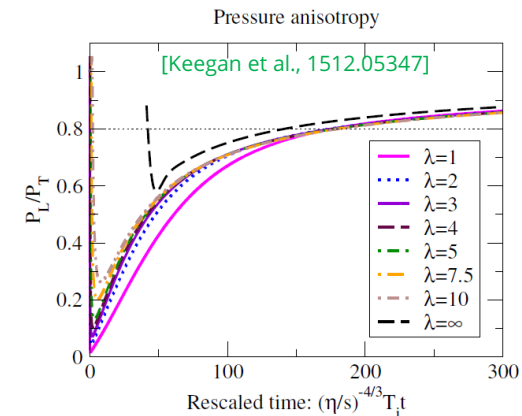
→ まだ早急。しかし、流体のonsetまでちゃんとできた人は存在しない

Q: パッチワークでちょっと気持ち悪い？

⇒ 場の理論 (Kadanoff-Baymとか2PI) で原理的にはできるはずだが、
ゲージ理論でやるのは(主に)数値的に難しくて誰もまだできていない...

Q: で、実験的/現象論的には結局なんなの？ ⇒ 次のスライド

- なので、理解は着実に進展したが考えることはまだたくさんある



[Hatta, Nishiyama (2011)]
cf. Φ4の最近の計算 [Gelis, Hauksson (2024)]

発展(3/3): 実験的/現象論的には?

実験

現象論

(1)

(2)

発展(3/3): 実験的/現象論的には?

実験

良いシグナルはまだない... EMプローブ(レプトン・光子) やRidgeがしばしば議論されるが...

現象論

(1)

(2)

発展(3/3): 実験的/現象論的には?

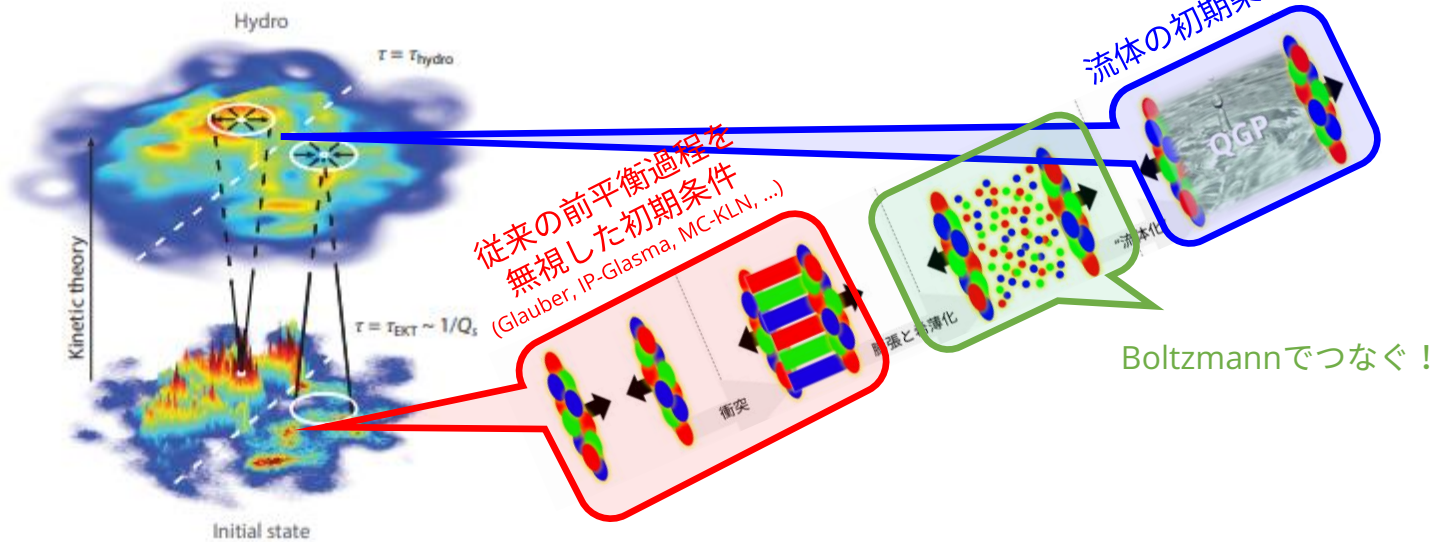
実験

良いシグナルはまだない... EMプローブ(レプトン・光子)やRidgeがしばしば議論されるが...

現象論

[Kurkela, Mazeliauskas, Paquet, Schlichting, Teaney, 1805.00961 & 1805.01604]

(1) さっきのBoltzmannの描像に基づいた流体初期条件: KΦMPOST



(2)

発展(3/3): 実験的/現象論的には?

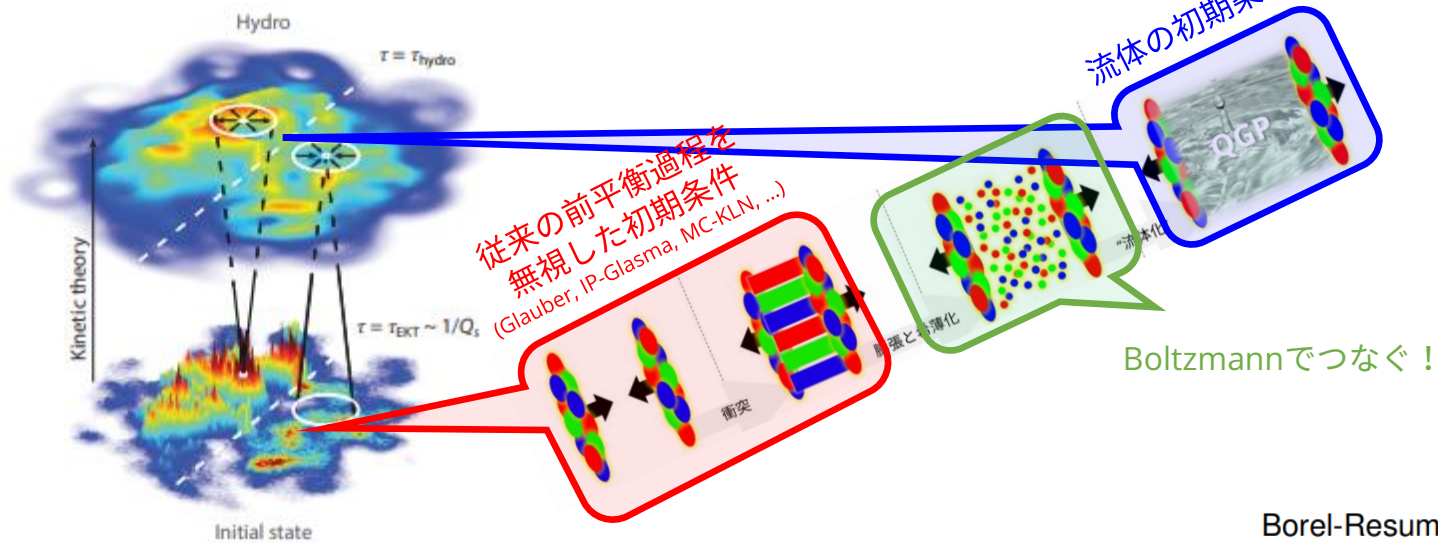
実験

良いシグナルはまだない... EMプローブ(レプトン・光子)やRidgeがしばしば議論されるが...

現象論

[Kurkela, Mazeliauskas, Paquet, Schlichting, Teaney, 1805.00961 & 1805.01604]

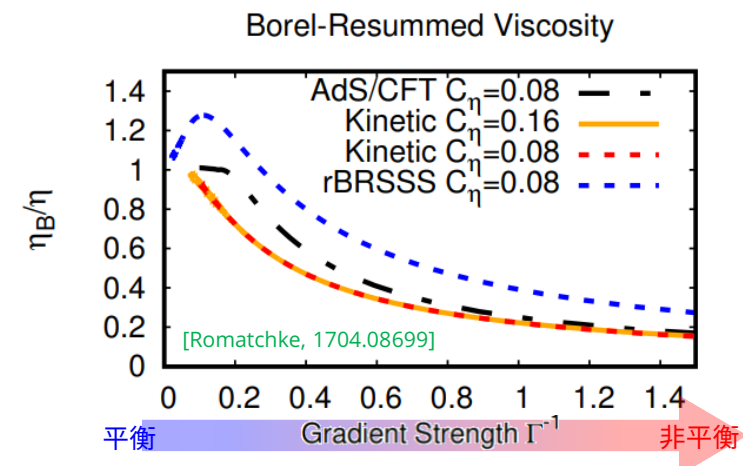
(1) さっきのBoltzmannの描像に基づいた流体初期条件: KΦMPOST



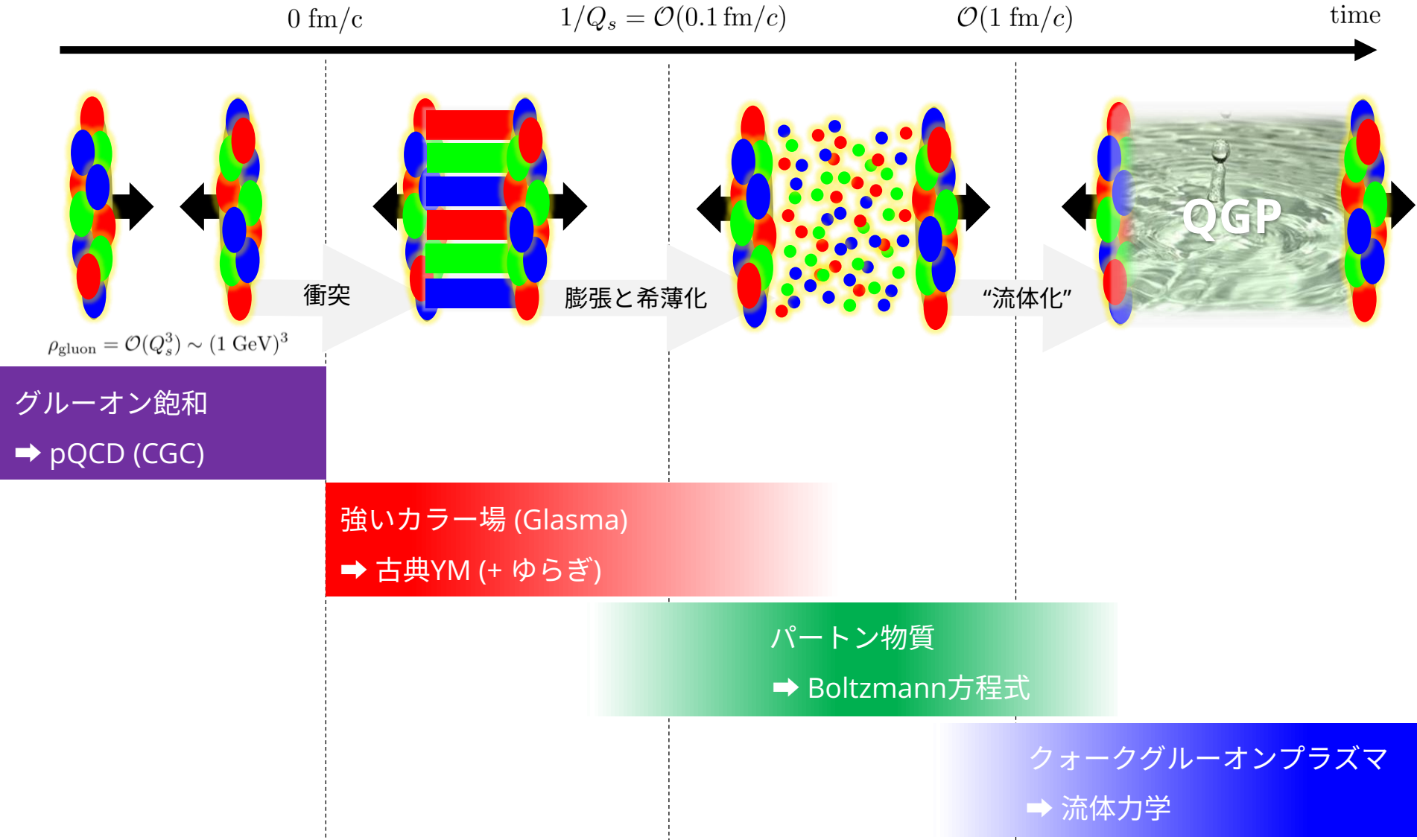
(2) 非平衡補正: 重イオンの"QGP"は本当に"QGP"?

流体化 ⇒ 「重イオンの"QGP"」は必ずしも熱平衡化していない

⇒ 「重イオンの"QGP"」の物性パラメタは「平衡QGP」のそれとは違うかも



小まとめ: 強いカラー場とQGP生成過程の現状



- ここ10年で進展 (e.g. ↑の弱結合の描像) したが、まだ問題は多い
- 重イオンだけに留まらない広がりがある (e.g. 非熱的固定点@冷却原子系)

目次

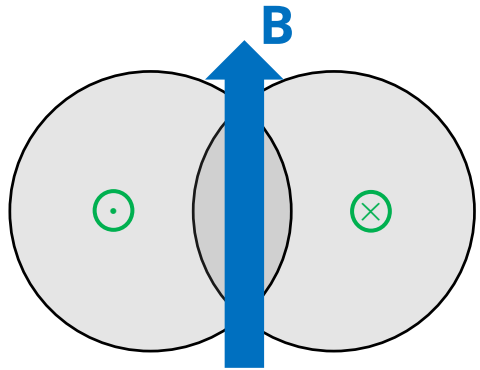
1. 強いカラー場

2. 強い電磁場

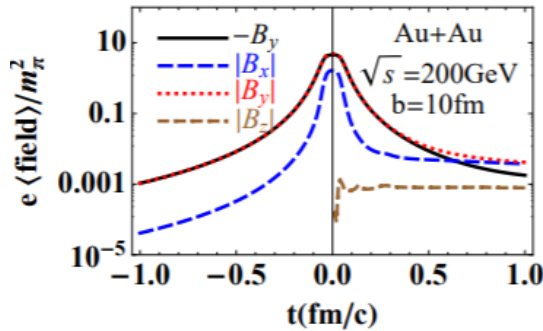
3. 強い渦度場

基礎(1/5): 強い電磁場のできかた

① 非中心/(超)周辺衝突



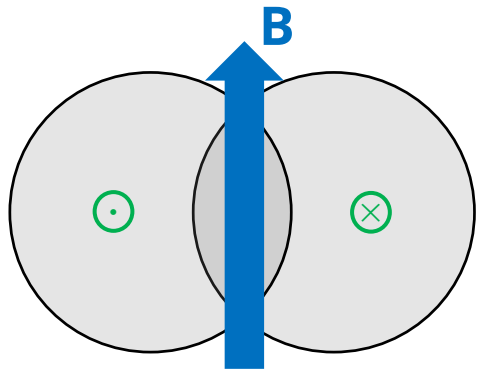
$$eB \sim \frac{\alpha Z v \gamma}{r^2} \sim \alpha Z \gamma \times m_\pi^2$$



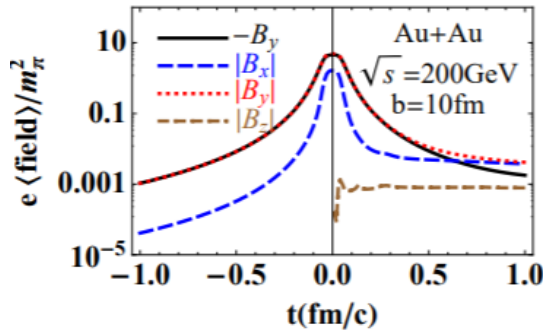
[Deng, Huang (2012)]

基礎(1/5): 強い電磁場のできかた

① 非中心/(超)周辺衝突

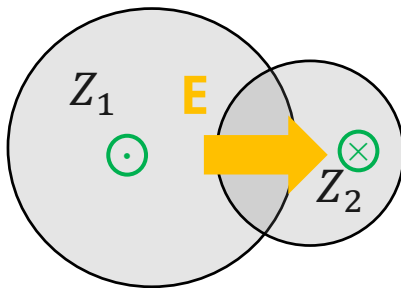


$$eB \sim \frac{\alpha Z v \gamma}{r^2} \sim \alpha Z \gamma \times m_\pi^2$$

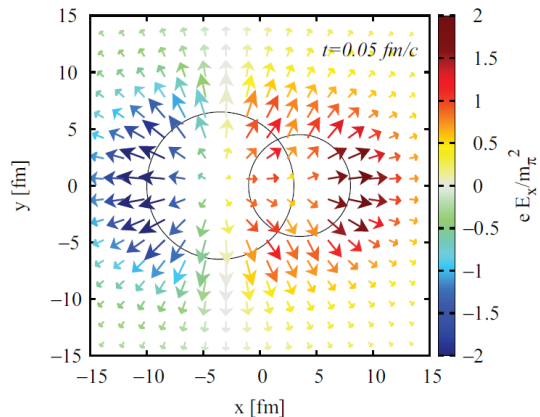


[Deng, Huang (2012)]

② 非対称衝突

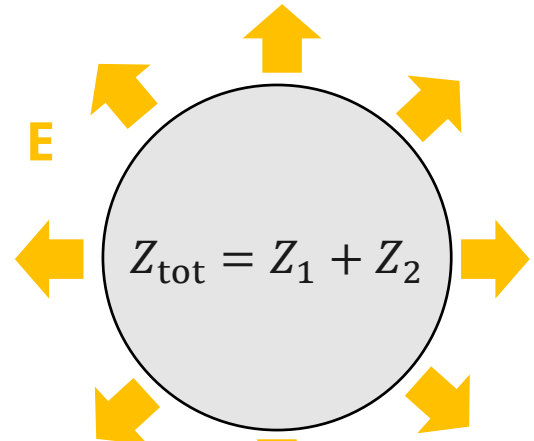


$$\begin{aligned} eE &\sim \frac{\alpha(Z_1 - Z_2)\gamma}{r^2} \\ &\sim \alpha(Z_1 - Z_2)\gamma \times m_\pi^2 \end{aligned}$$

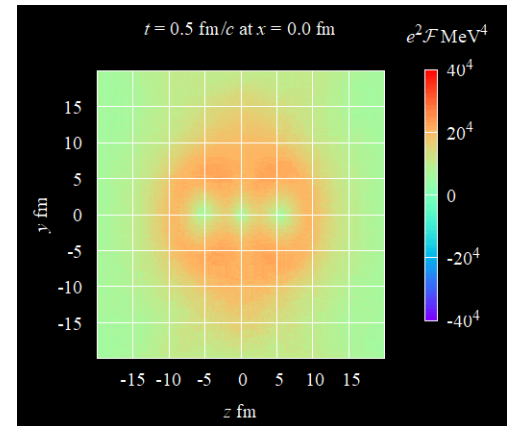


[Voronyuk, Toneev, Voloshin, Cassing (2014)]
[Hirono, Hongo, Hirano (2014)]

③ 低エネルギー衝突



$$eE \sim \frac{\alpha Z_{\text{tot}}}{r^2} \sim \alpha Z_{\text{tot}} \times m_\pi^2$$



[HT, Nishimura, Ohnishi (2024)]

基礎(2/5): 最強!

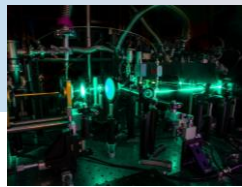
LED



溶接



物性のTHzレーザー



ギネス世界記録

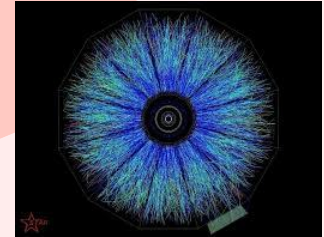
HERCULESレーザー
@ USA (2008)



(現宇宙で最強(?))
マグネター



重イオン衝突



$$eE, eB \sim (10^{-3} \text{ eV})^2 \quad \sim (10^{-1} \text{ eV})^2$$

$$\sim (1 \text{ eV})^2$$

$$\sim (1 \text{ keV})^2$$

$$\sim (100 \text{ keV})^2$$

$$\sim (100 \text{ MeV})^2$$

「最強の環境」 ⇒ 「ふつうの環境」では起きない「何か」が起こる

基礎(3/5): 電磁場が強いと何が起こり得るか?

基本アイデア: 場が強い ⇒ 非摂動効果/高次効果が重要になりえる

基礎(3/5): 電磁場が強いと何が起こり得るか?

基本アイデア: 場が強い ⇒ 非摂動効果/高次効果が重要になりえる

始状態



終状態



時間発展

真空

基礎(3/5): 電磁場が強いと何が起こり得るか?

基本アイデア: 場が強い \Rightarrow 非摂動効果/高次効果が重要になりえる

始状態



終状態



時間発展

真空

弱い場 ($eF/m^2 \ll 1$)

強い場 ($eF/m^2 \gg 1$)



基礎(3/5): 電磁場が強いと何が起こり得るか?

基本アイデア: 場が強い \Rightarrow 非摂動効果/高次効果が重要になりえる



真空

弱い場 ($eF/m^2 \ll 1$)

強い場 ($eF/m^2 \gg 1$)

摂動的な物理

\Rightarrow 理論・実験とともに
よくわかっている

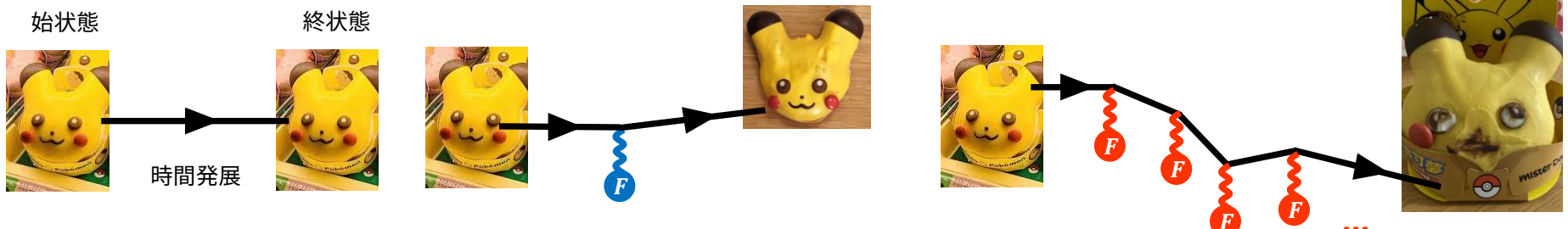
e.g., 電子の異常磁気モーメント

$$\begin{aligned}\alpha^{-1}(\text{theor.}) &= 137.03599914 \dots \\ \alpha^{-1}(\text{exp.}) &= 137.03599899 \dots\end{aligned}$$

[Aoyama, Kinoshita, Nio (2017)]

基礎(3/5): 電磁場が強いと何が起こり得るか?

基本アイデア: 場が強い \Rightarrow 非摂動効果/高次効果が重要になりえる



真空

弱い場 ($eF/m^2 \ll 1$)

強い場 ($eF/m^2 \gg 1$)

摂動的な物理

\Rightarrow 理論・実験とともに
よくわかっている

非摂動的な物理

\Rightarrow 「摂動的」 = 「普通の状況」では
起きないことが起こる

e.g., 電子の異常磁気モーメント

$$\begin{aligned}\alpha^{-1}(\text{theor.}) &= 137.03599914 \dots \\ \alpha^{-1}(\text{exp.}) &= 137.03599899 \dots\end{aligned}$$

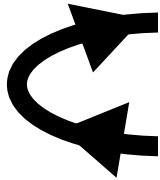
[Aoyama, Kinoshita, Nio (2017)]

基礎(4/5): 強い電磁場の物理の例

✓ 新しいQED過程

Review: [Fedotov, Ilderton, Karbstein, King, Seipt, HT, Torgrimsson, 2203.00019]

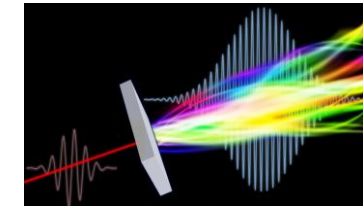
例1) Schwinger機構 例2) 光子分裂



例3) 真空複屈折



例4) 高次高調波発生

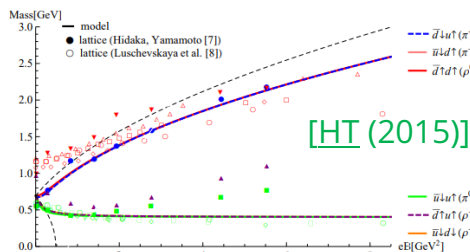


[HT, Hongo, Ikeda (2021)]

✓ スーパー強ければ、QCD・ハドロン物理にも影響する

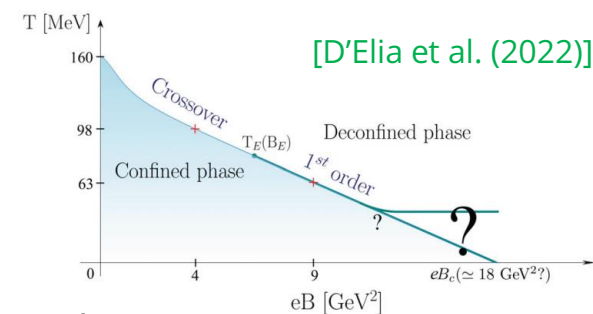
例1) ハドロンの性質:

例) 質量、形状、
崩壊モード、...



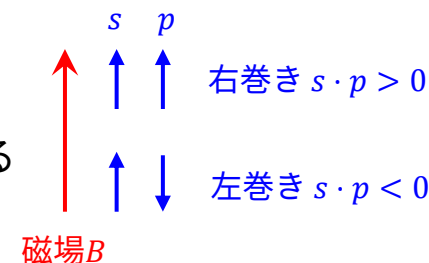
例2) QCD相図

例) カイラル/閉じ込め相転移への影響、(inverse) magnetic catalysis、...



例3) 異常輸送現象

例) カイラル磁気効果(CME): カイラリティ不均一 $\Rightarrow J \propto B$ の電流流れる
[Fukushima, Kharzeev, Warringa (2008)]



基礎(4/5): 強い電磁場の物理の例

✓ 新しいQED過程

例1) Schwinger機構

例2) 光子分身

例3) 真空の屈折

例4) 高次高調波発生

全部、実験的には未発見!

他のいかなる実験でも強い電磁場を作れなかったから

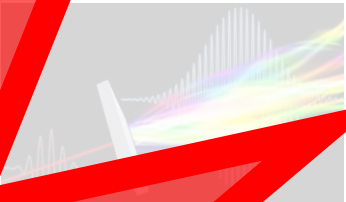
→重イオンを「道具」として、こういう物理が
調べられたらQGP研究の枠を超えて楽しい

例2) QCD相図

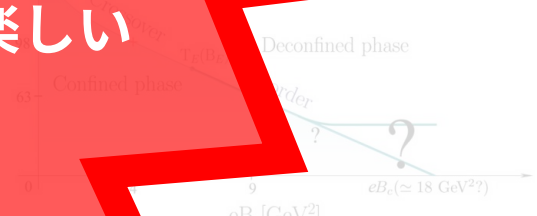
例) フラクタル/閉じ込め相転移への影響、(inverse) magnetic catalysis、

例3) 異常輸送現象

例) カイラル磁気効果(CME): カイラリティ不均一 $\Rightarrow J \propto B$ の電流流れる
[Fukushima, Kharzeev, Warringa (2008)]



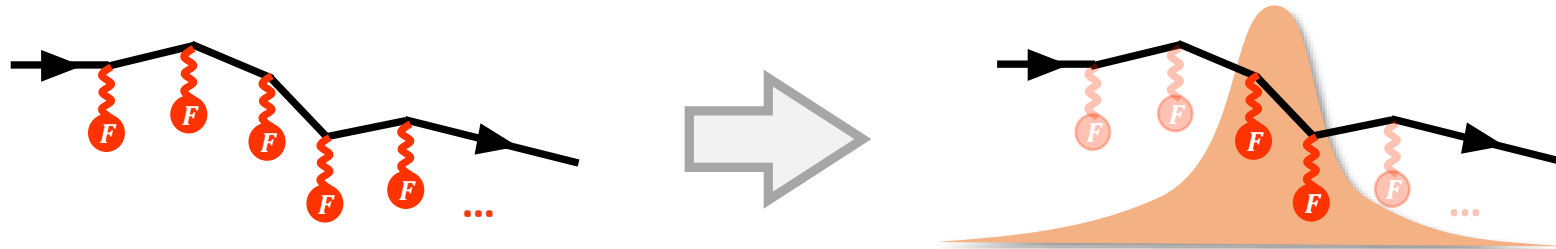
[HT, Hong & Seda (2021)]



s p
右巻き $s \cdot p > 0$
左巻き $s \cdot p < 0$
磁場 B

基礎(5/5): しかしながら、寿命の短さには注意

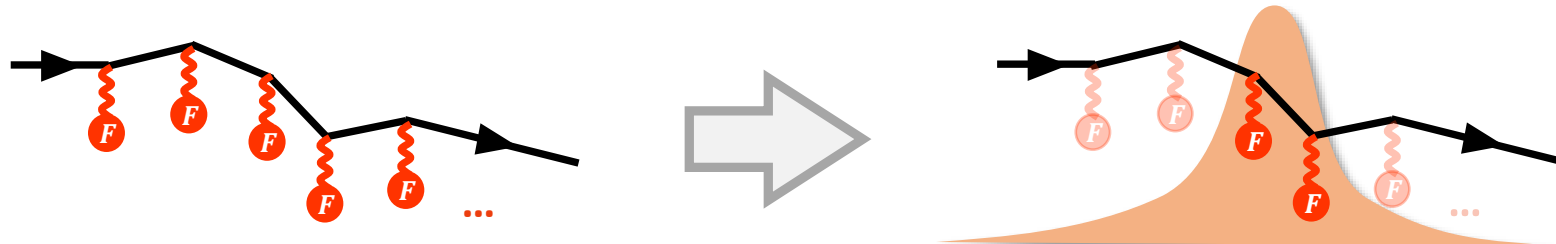
- ちょっとナイーブすぎる: 重イオンの電磁場は短寿命 ($\tau \sim 2R/\gamma \lesssim 0.1 \text{ fm}/c$)
⇒ 一瞬で無くなるなら、いくら強かろうが影響しない



注: 物質効果(電気伝導度)で寿命が延びる可能性はあるが... [Tuchin (2013)] [Skokov, McLellan (2014)]

基礎(5/5): しかしながら、寿命の短さには注意

- ちょっとナイーブすぎる: 重イオンの電磁場は短寿命 ($\tau \sim 2R/\gamma \lesssim 0.1 \text{ fm}/c$)
⇒ 一瞬で無くなるなら、いくら強かろうが影響しない

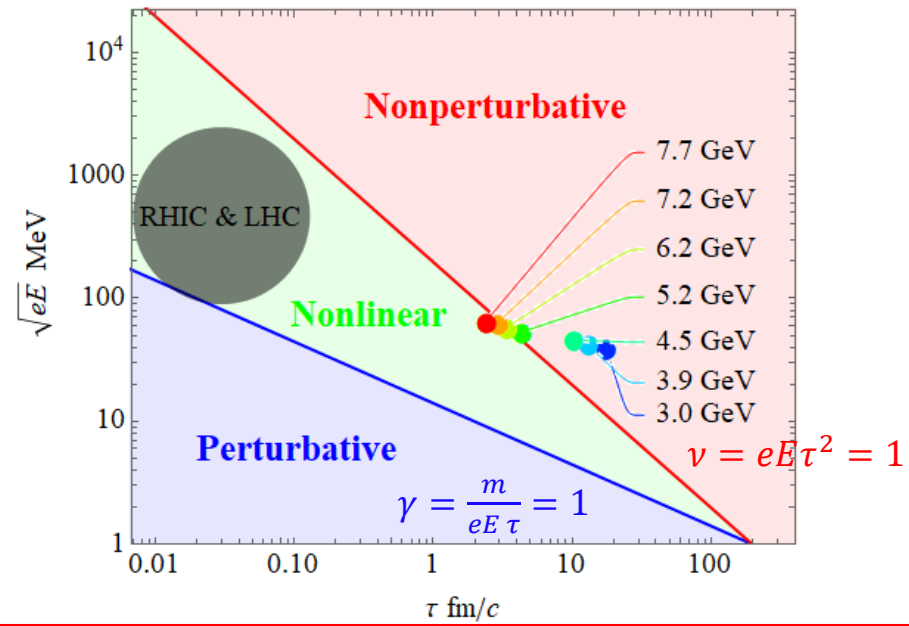


注: 物質効果(電気伝導度)で寿命が延びる可能性はあるが... [Tuchin (2013)] [Skokov, McLerran (2014)]

- 重イオン衝突のsensitivity region

[HT, Nishimura, Ohnishi (2024)]

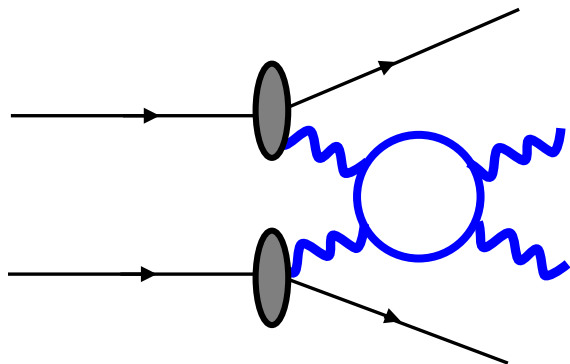
[Baltz et al., (2007)]



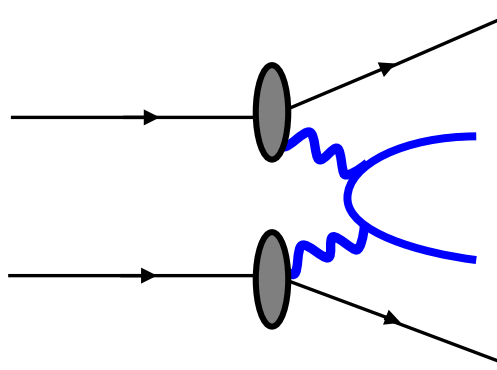
非摂動領域は(高エネルギーでは)厳しいかもだけど、高次の非自明な効果は見えるはず

発展(1/3): 最近の実験結果: 新しいQED効果の発見

光子光子散乱 [ATLAS (2017)]



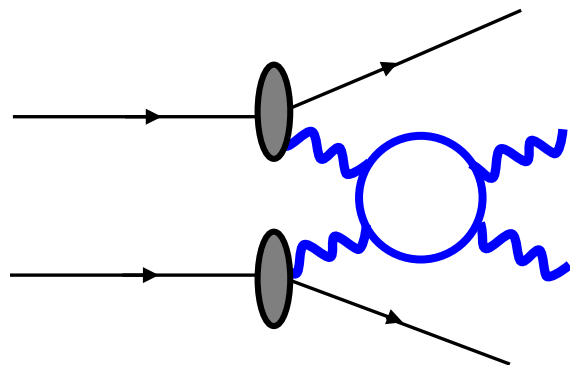
(線形) Breit-Wheeler過程 [STAR (2021)]



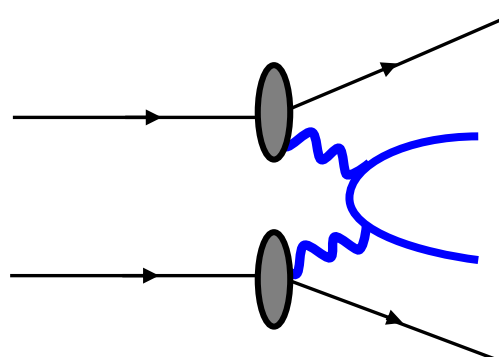
- α で抑制されてるせいで他のいかなる実験でも見えてなかつたが、重イオンは光子密度が大きい(=場が強い)ので見えた

発展(1/3): 最近の実験結果: 新しいQED効果の発見

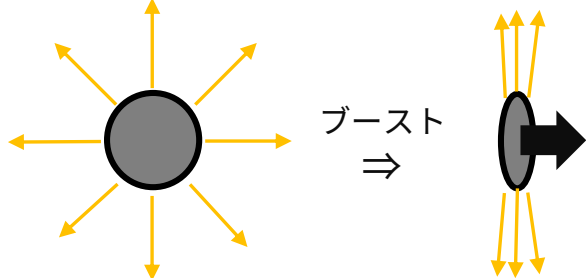
光子光子散乱 [ATLAS (2017)]



(線形) Breit-Wheeler過程 [STAR (2021)]

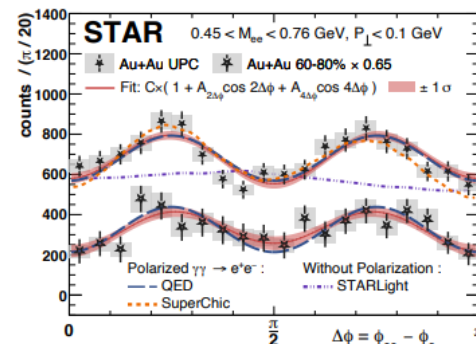


- α で抑制されてるせいで他のいかなる実験でも見えてなかつたが、重イオンは光子密度が大きい(=場が強い)ので見えた
[Li, Zhou, Zhou (2019)]
- 理論: 等価光子場近似 (equivalent photon approx. とか Weizsäcker-Williams approx. とも)
 - 仮定: すごくブーストされた重イオンのクーロン場は、実光子の集まりと見なせる



$$\begin{aligned} & \text{[全散乱断面積]} \\ & \Rightarrow = [\text{(実)光子の分布関数}] \times [\text{素過程の断面積}] \end{aligned}$$

- よく合う
⇒ より高次の散乱効果は今のところ見えていない
(← 寿命の観点からは自然)



発展(2/3): 最近の実験結果: ハドロンのフロー

電磁場は(寿命が短いけれど)強いので、QCD/ハドロン過程にも影響し得る

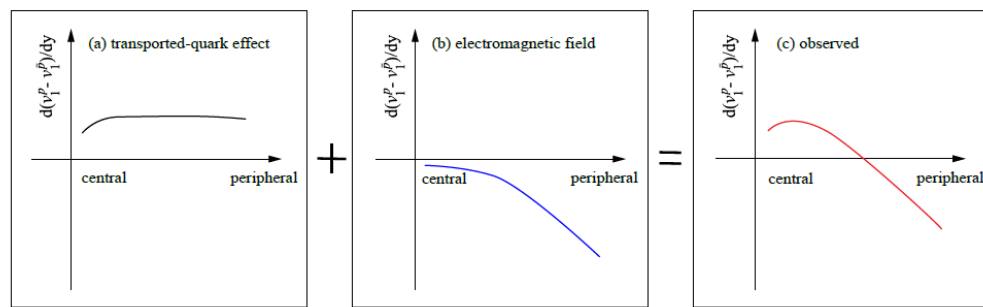
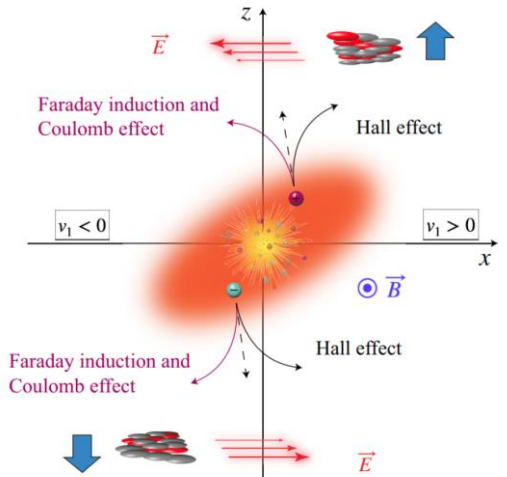
発展(2/3): 最近の実験結果: ハドロンのフロー

電磁場は(寿命が短いけれど)強いので、QCD/ハドロン過程にも影響し得る

⇒ 例: 電荷依存したv1フロー (\approx ハドロン収量が横平面の右/左にどれくらい偏るか)

cf. 非対称衝突での観測 [STAR (2017), (2018)]

- 理論的期待



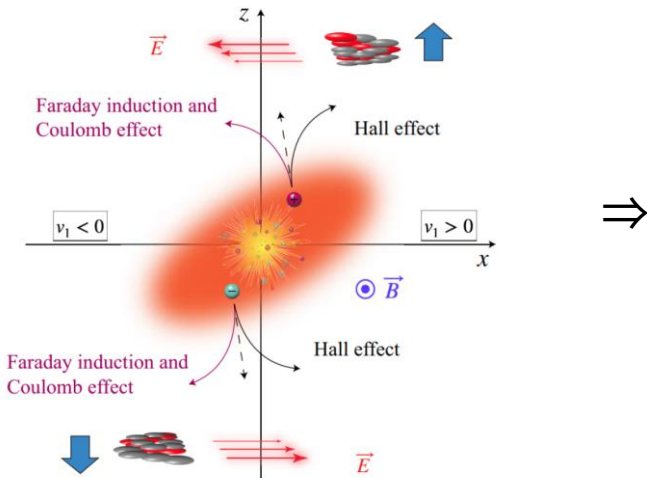
発展(2/3): 最近の実験結果: ハドロンのフロー

電磁場は(寿命が短いけれど)強いので、QCD/ハドロン過程にも影響し得る

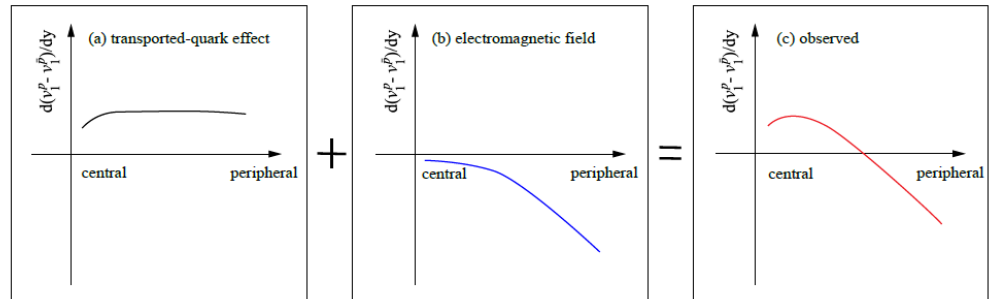
⇒ 例: 電荷依存したv1フロー (\approx ハドロン収量が横平面の右/左にどれくらい偏るか)

cf. 非対称衝突での観測 [STAR (2017), (2018)]

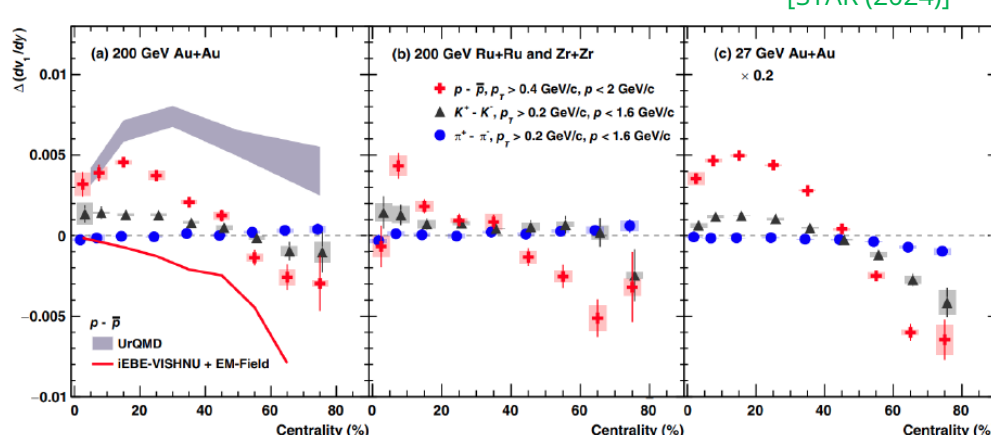
- 理論的期待



[Gursoy, Kharzeev, Marcus, Rajagopal, Shen (2018)]



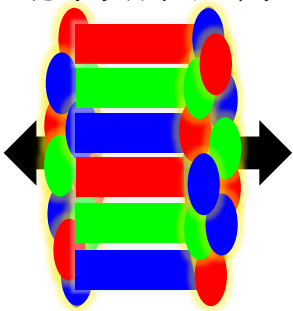
- 実験でそれっぽい振る舞いが見えた！
 - ちょうど、流体計算 + (b) (w/o (a)) と
ハドロン輸送模型の計算 + (a) (w/o (b))
の間にるように見える
 - (完全再現した計算は知らない...)



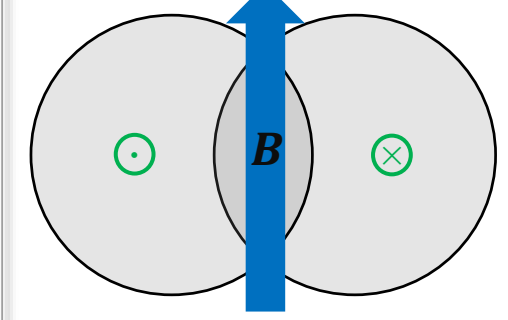
発展(3/3): 最近の実験結果: CME探索

- 復習: カイラル磁気効果(CME) = カイラリティ不均一 + 磁場 \Rightarrow 磁場方向の電流

$$E \cdot B \neq 0 \Rightarrow \text{カイラルアノマリー } n_5 \propto E \cdot B$$

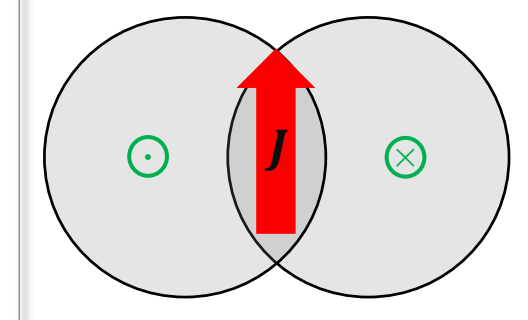


$$B$$



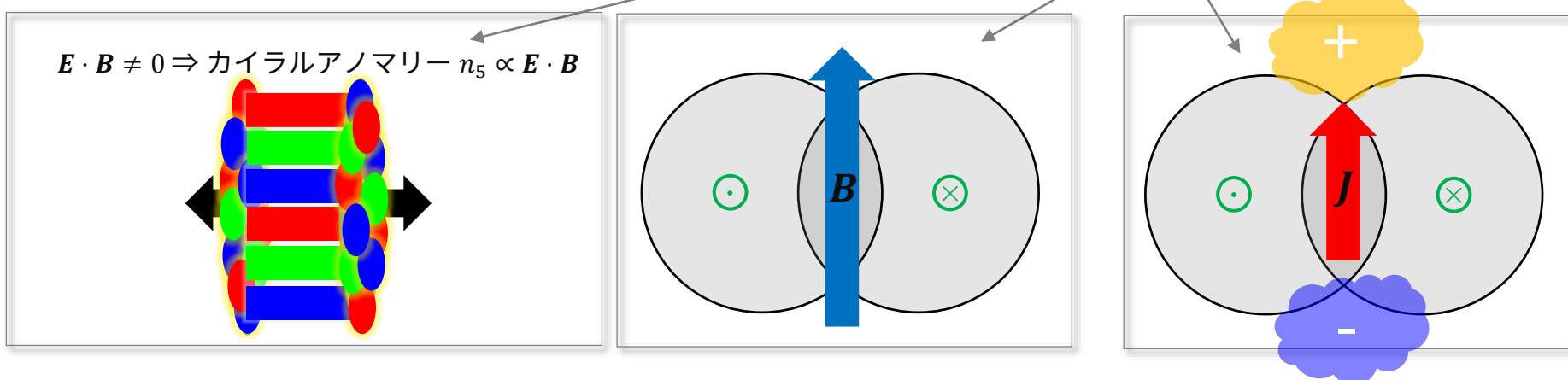
$$J$$

$$J$$



発展(3/3): 最近の実験結果: CME探索

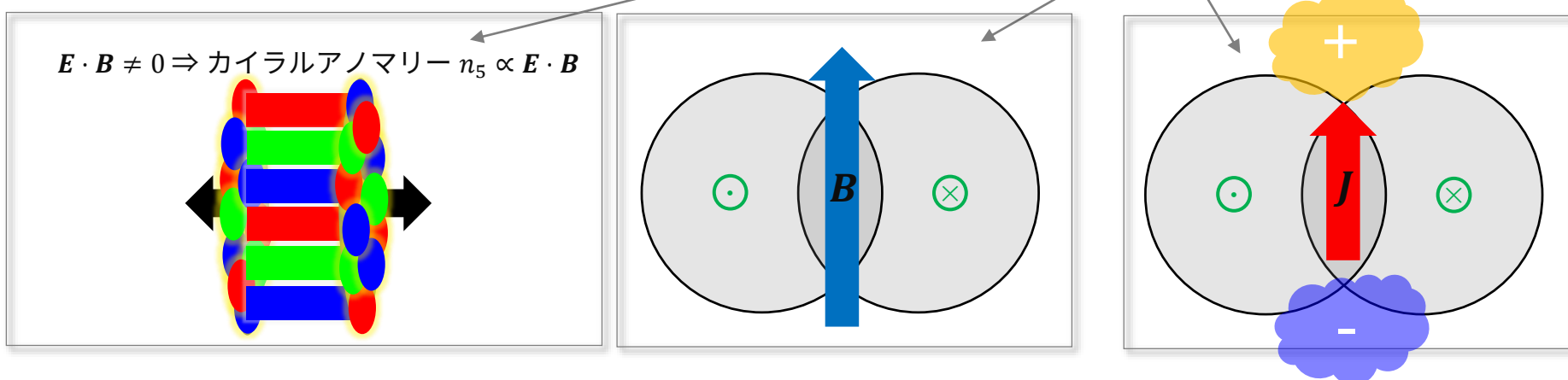
- 復習: カイラル磁気効果(CME) = カイラリティ不均一 + 磁場 \Rightarrow 磁場方向の電流



- 素朴には、衝突平面の上と下の電荷差 ($=: \alpha$ とよく書かれる) を測れば良いが...
 - グラズマのフラックスチューブは横方向にランダムなので、平均すると $n_5 = 0 \Rightarrow \langle \text{電荷差} \rangle = 0$
 - なので、ゆらぎを測る $\langle (\text{電荷差})^2 \rangle \neq 0$ ($=: \gamma$ とよく書かれる) [Voloshin (2004)]
 - しかし、ゆらぎなので必然的に雑音の影響を受けやすい \Rightarrow 賢い雑音の除去の必要性 (\Leftarrow ムズイ!)

発展(3/3): 最近の実験結果: CME探索

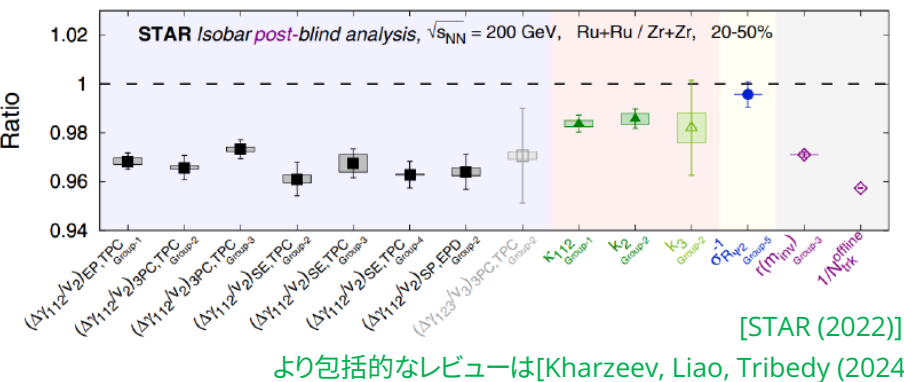
- 復習: カイラル磁気効果(CME) = カイラリティ不均一 + 磁場 \Rightarrow 磁場方向の電流



- 素朴には、衝突平面の上と下の電荷差 ($=: \alpha$ とよく書かれる) を測れば良いが...
 - グラズマのフラックスチューブは横方向にランダムなので、平均すると $n_5 = 0 \Rightarrow \langle \text{電荷差} \rangle = 0$
 - なので、ゆらぎを測る $\langle (\text{電荷差})^2 \rangle \neq 0$ ($=: \gamma$ とよく書かれる) [Voloshin (2004)]
 - しかし、ゆらぎなので必然的に雑音の影響を受けやすい \Rightarrow 賢い雑音の除去の必要性 (← ムズイ!)

- 最近のアイデア: 同重核衝突 = 質量数A同じ、原子核番号Zだけ違う原子核衝突

- 強い相互作用の効果 (\approx 雜音) は同じで、
磁場の大きさだけが違う (だろう)
 \Rightarrow シグナル γ の比 $R := \gamma(Z_{\text{大}})/\gamma(Z_{\text{小}}) > 1$
- 実験結果: 今のところ「 >1 」とはならない
 \Leftarrow 同重核ならではの雑音も考えないと...
(e.g. 中性子スキン)



小まとめ: 重イオン衝突における強い電磁場の物理

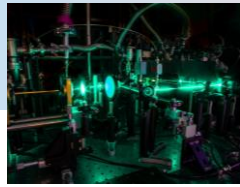
LED



溶接



物性のTHzレーザー



ギネス世界記録

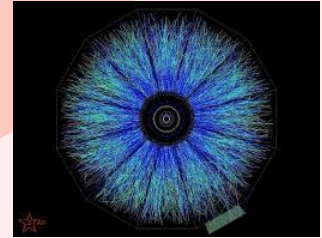
HERCULESレーザー
@ USA (2008)



(現宇宙で最強(?))
マグネター



重イオン衝突



$$eF \sim (10^{-3} \text{ eV})^2$$

$$\sim (10^{-1} \text{ eV})^2$$

$$\sim (1 \text{ eV})^2$$

$$\sim (1 \text{ keV})^2$$

$$\sim (100 \text{ keV})^2$$

$$\sim (100 \text{ MeV})^2$$

最強の電磁場 \Rightarrow 非自明な電磁場効果 (e.g. 非線形QED)

寿命が短いので、非摂動的な領域にいけるかは微妙だが (低エネルギーならいけるかも)、それでも高次の非自明な効果は見える (e.g., 光子光子散乱や線形BW効果の初観測)

\Rightarrow 重イオンを強い電磁場の物理の「道具」として使う楽しみ

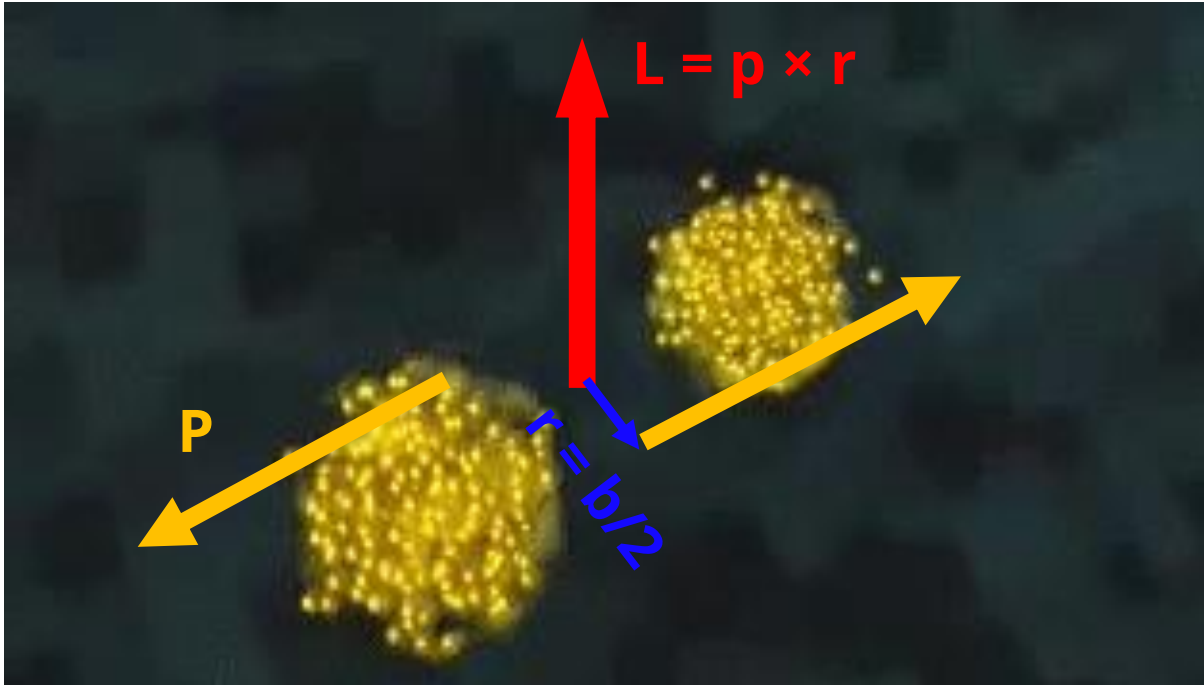
目次

1. 強いカラー場

2. 強い電磁場

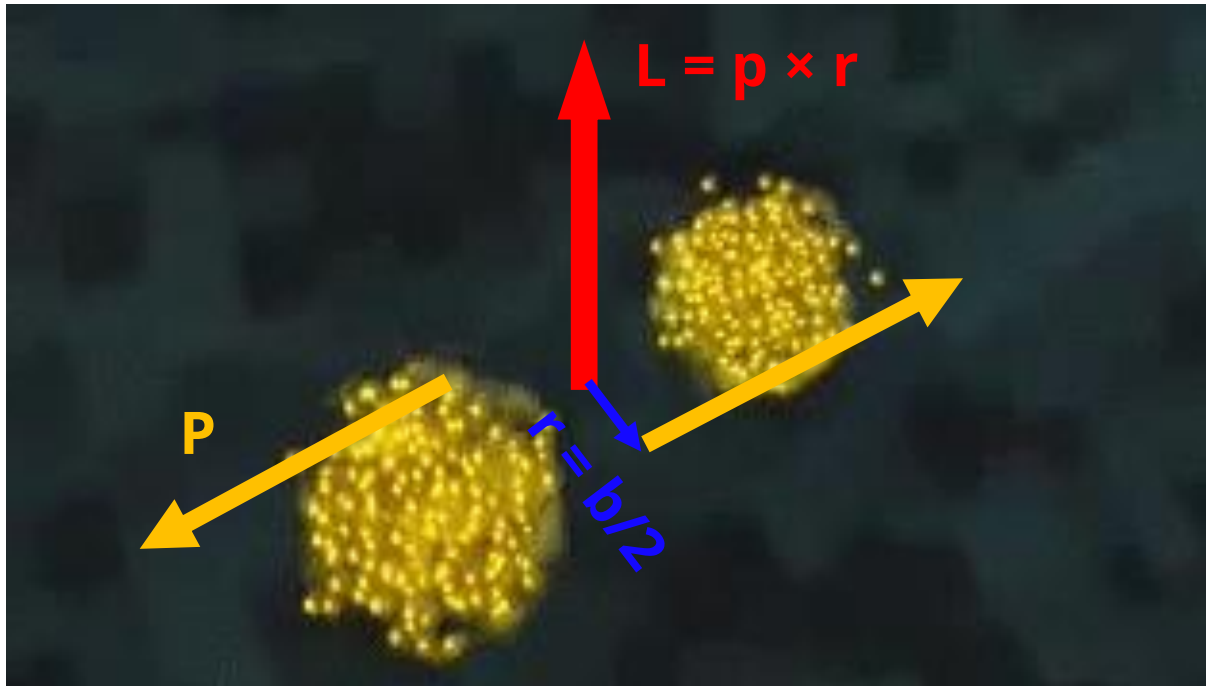
3. 強い渦度場

基礎(1/5): (globalな) 強い渦渡場のできかた

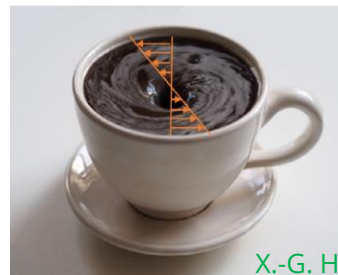


- 全角運動量は大きい: $J \sim L = p \times r \sim \sqrt{s_{NN}}A \times b/2 \sim 10^6 \hbar \gg$ (原子核1個のスピン $0(1\hbar)$)

基礎(1/5): (globalな) 強い渦渡場のできかた



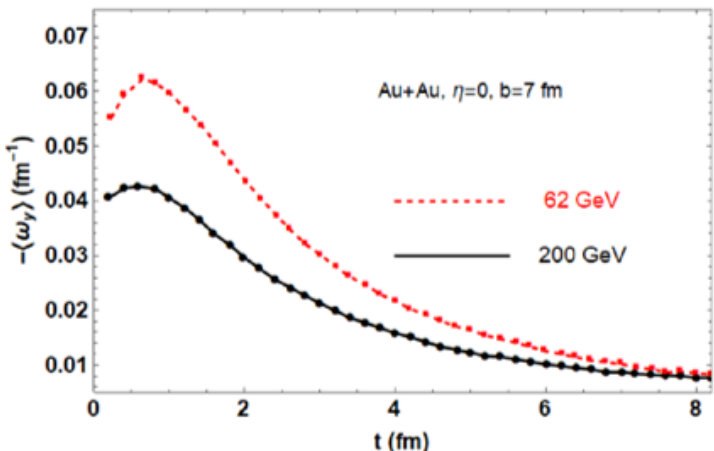
- 全角運動量は大きい: $J \sim L = p \times r \sim \sqrt{s_{NN}}A \times b/2 \sim 10^6 \hbar \gg$ (原子核1個のスピン $0(1\hbar)$)
- 角運動量 (の一部) はQGPへ \Rightarrow QGPは早く「回転」するだろう (流速分布が渦的になる)
- 流体の回転速度の指標 = 渦度 $\omega := \text{rot } \boldsymbol{v}$
 \Leftarrow 剛体回転の角速度 $\Omega := v/r$ の局所版



X.-G. Huangのスライドより

基礎(2/5): 宇宙最強!

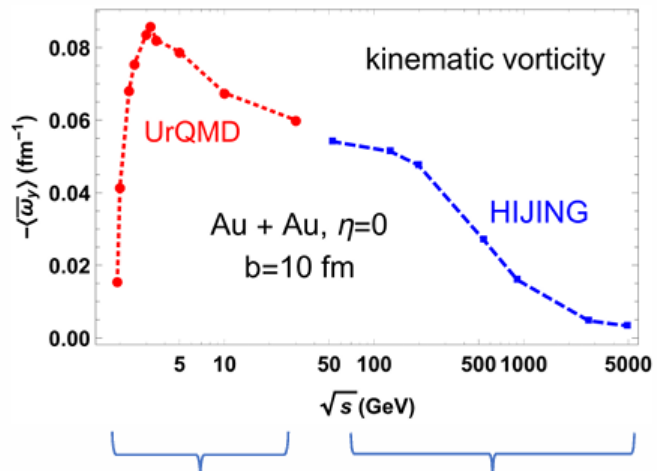
Time dependence



AMPT (Jiang-Lin-Liao PRC2016)

X.-G. Huangのスライドより

Energy dependence



Deng-XGH-Ma-Zhang PRC2020

Deng-XGH PRC2016



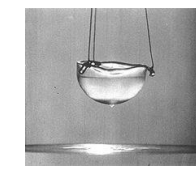
銀河



台風



洗濯機



超流動



MakeAGIF.com

QGP

・宇宙最強の角速度 $\sim 10^{21}$ Hz が実現

10^{-15} Hz

\Rightarrow (強い電磁場と同様に)

10^{-1} Hz

「最強の環境」 \Rightarrow 「ふつうの環境」 では起きない「何か」が起こる可能性

10^{+2} Hz

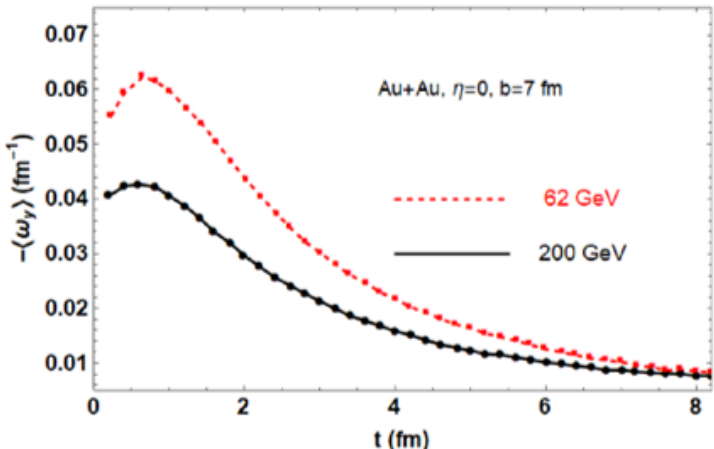
10^{+7} Hz

[Gomez et al. (2014)]

10^{+21} Hz

基礎(2/5): 宇宙最強!

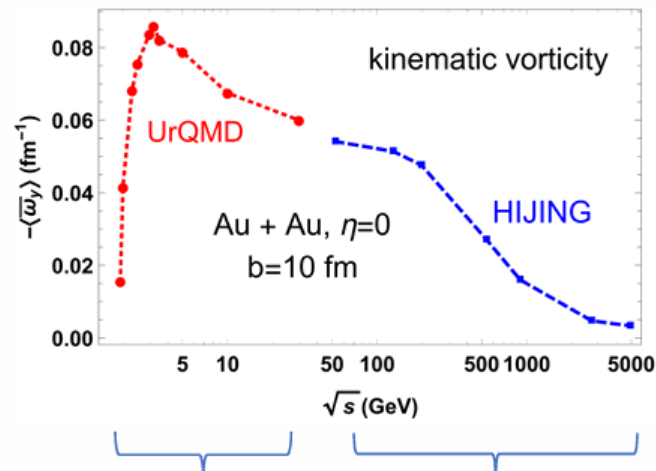
Time dependence



AMPT (Jiang-Lin-Liao PRC2016)

X.-G. Huangのスライドより

Energy dependence



Deng-XGH-Ma-Zhang PRC2020

Deng-XGH PRC2016

- 宇宙最強の角速度 $\sim 10^{21} \text{ Hz}$ が実現

\Rightarrow (強い電磁場と同様に)

「最強の環境」 \Rightarrow 「ふつうの環境」 では起きない「何か」が起こる可能性



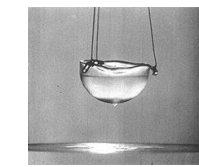
銀河



台風



洗濯機



超流動



QGP

10^{-15} Hz

10^{-1} Hz

10^{+2} Hz

10^{+7} Hz
[Gomez et al. (2014)]

10^{+21} Hz

- しかしながら、eVで見ると弱い: $\omega = O(10 \text{ MeV})$

とはいって、長く持続する $O(5 \text{ fm}/c)$ ので、 $\omega/T \sim 1\%$ 程度のシグナルが見えて良さそう

基礎(3/5): 期待される物理

A: スピンとカイラリティの物理

基礎(3/5): 期待される物理

A: スピンとカイラリティの物理

- ・ **スピン偏極 by スpin渦度結合** $E \rightarrow E - \omega \cdot s$ [Liang, Wang (2004)]

- LS力 $\delta E \propto L \cdot s$ の局所版。Zeeman効果のアナログ $\delta E \propto B \cdot s$

- 分布関数が、 $f_s(E/T) \rightarrow f_s(\frac{E-\omega \cdot s}{T})$ と変更

$$\Rightarrow P \equiv \frac{f_\uparrow - f_\downarrow}{f_\uparrow + f_\downarrow} = O(\omega/T) = O(0.1 - 1\%)$$

[Vilenkin (1980)] [Hehl, Ni (1990)]

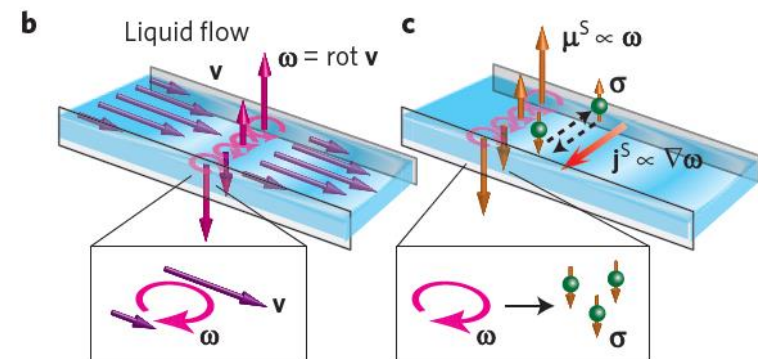
[Beccatini (2012)] [Beccatini et al. (2013)] ...

- 物性 (スピントロニクス) でアナログが観測

⇒ スピントロニクスのアイデアが他にも輸入

cf. baryonic spin Hall effect [Fu, Pang, Song, Yin (2022)]

[Takahashi et al. (2015)]



・ 異常輸送現象

- カイラル渦効果(CVE): $J \propto \omega \Leftarrow$ CME $J \propto B$ のアナログ $B \leftrightarrow \omega$

[Vilenkin (1979)]

ググればたくさんレビューが出てくる

基礎(3/5): 期待される物理

A: スピンとカイラリティの物理

- ・ **スピン偏極 by スピン渦度結合** $E \rightarrow E - \omega \cdot s$ [Liang, Wang (2004)]

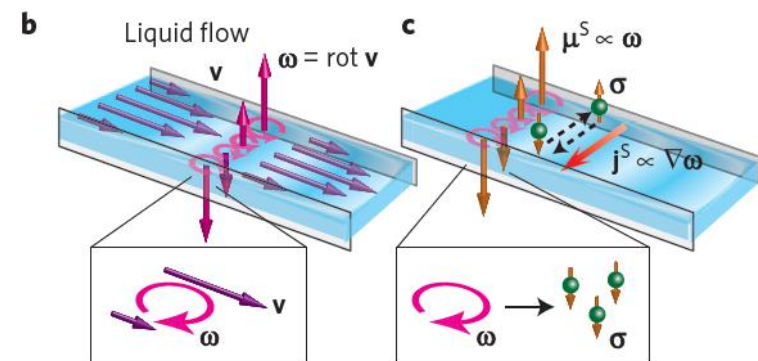
- LS力 $\delta E \propto L \cdot s$ の局所版。Zeeman効果のアナログ $\delta E \propto B \cdot s$

- 分布関数が、 $f_s(E/T) \rightarrow f_s(\frac{E-\omega \cdot s}{T})$ と変更

$$\Rightarrow P \equiv \frac{f_\uparrow - f_\downarrow}{f_\uparrow + f_\downarrow} = O(\omega/T) = O(0.1 - 1\%)$$

[Vilenkin (1980)] [Hehl, Ni (1990)]
[Beccatini (2012)] [Beccatini et al. (2013)] ...

- 物性 (スピントロニクス) でアナログが観測
 \Rightarrow スピントロニクスのアイデアが他にも輸入
cf. baryonic spin Hall effect [Fu, Pang, Song, Yin (2022)]



・ 異常輸送現象

- カイラル渦効果(CVE): $J \propto \omega \Leftarrow$ CME $J \propto B$ のアナログ $B \leftrightarrow \omega$

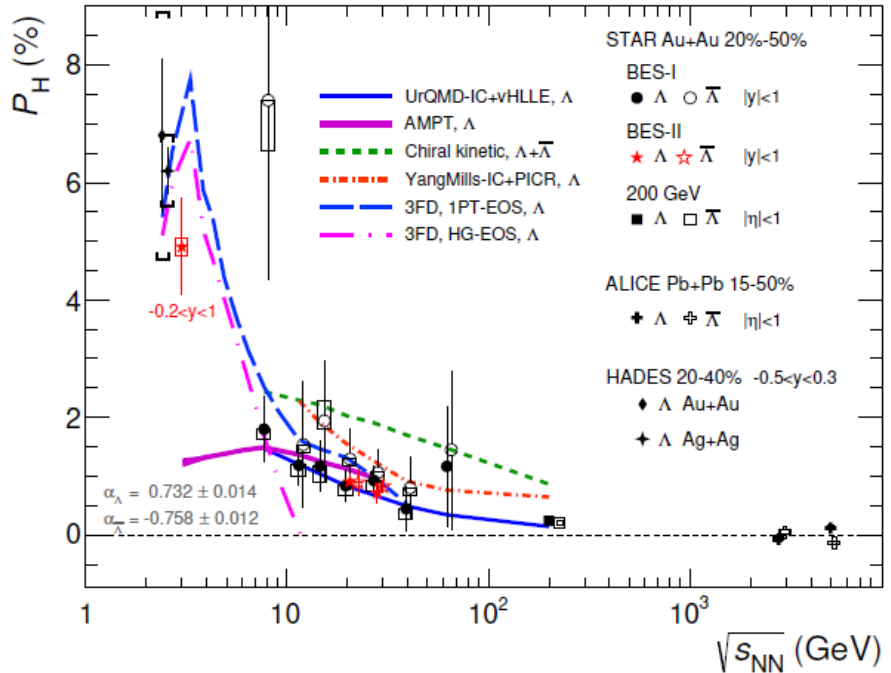
[Vilenkin (1979)]

ググればたくさんレビューが出てくる

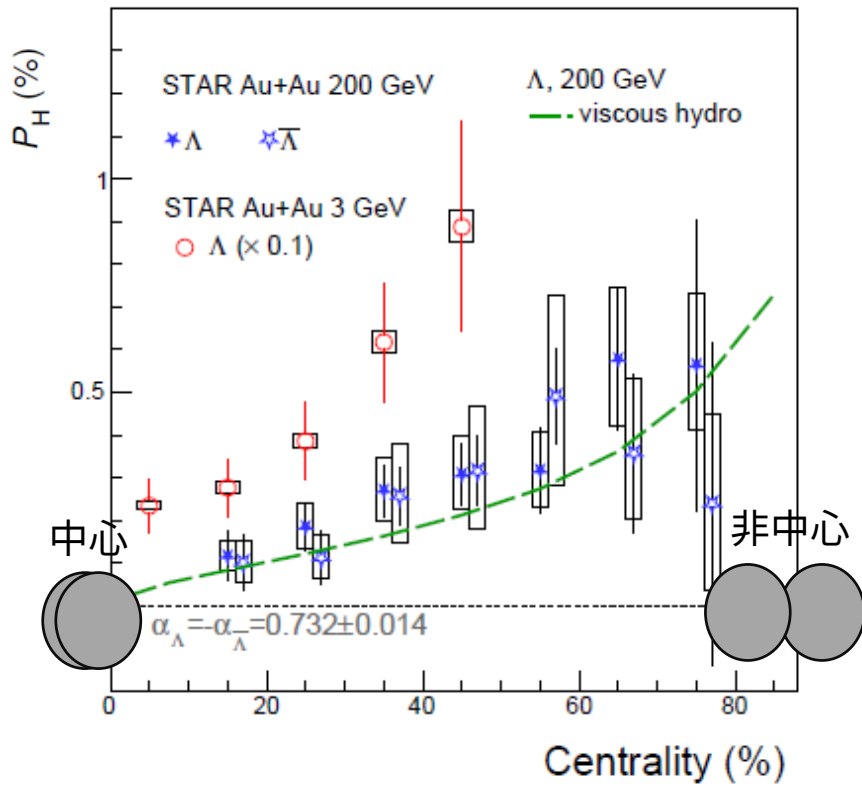
基礎(4/5): 実験で確かに見えた!

エネルギー依存性

1st result: [STAR (2017)]
最新のレビュー: [Niida, Voloshin (2024)]



中心度依存性

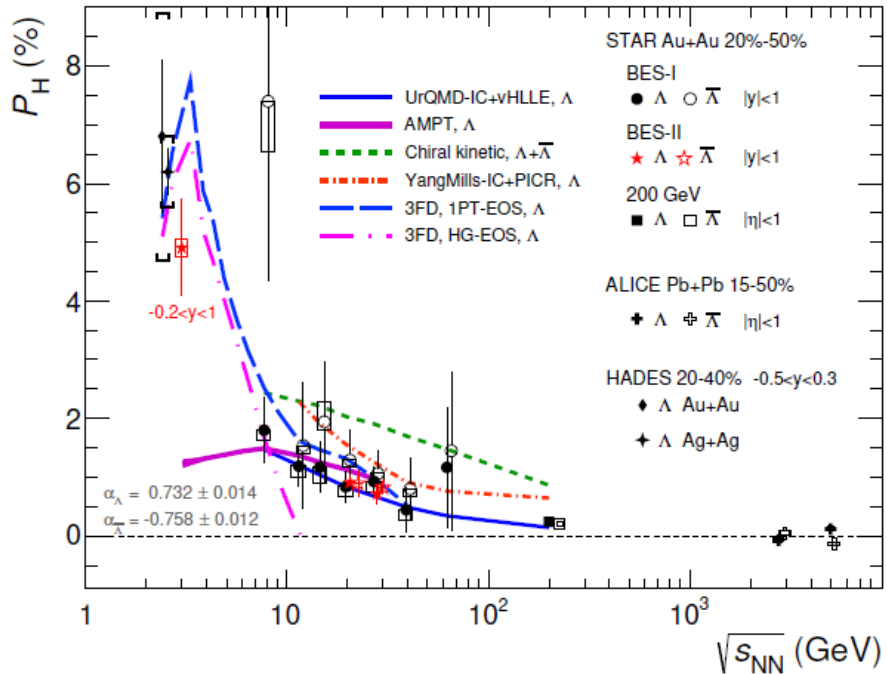


- たしかに $O(1\%) = \omega/T$ の効果が見える
 - 低エネルギー、非中心衝突ほど偏極が大きい
 - スピン渦度結合を入れた理論で良く再現できる

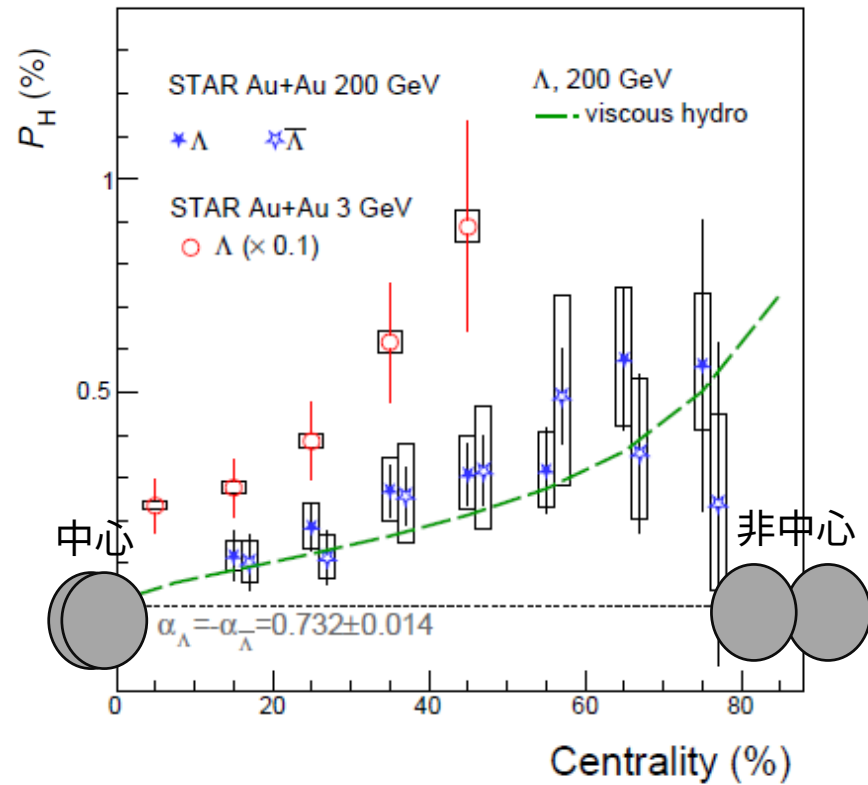
基礎(4/5): 実験で確かに見えた!

エネルギー依存性

1st result: [STAR (2017)]
最新のレビュー: [Niida, Voloshin (2024)]



中心度依存性



- ・たしかに $O(1\%) = \omega/T$ の効果が見える
 - 低エネルギー、非中心衝突ほど偏極が大きい
 - スピン渦度結合を入れた理論で良く再現できる
- ・ちなみに、 Λ と $\bar{\Lambda}$ の違いは有意に無 \Rightarrow 磁場の効果は見てない

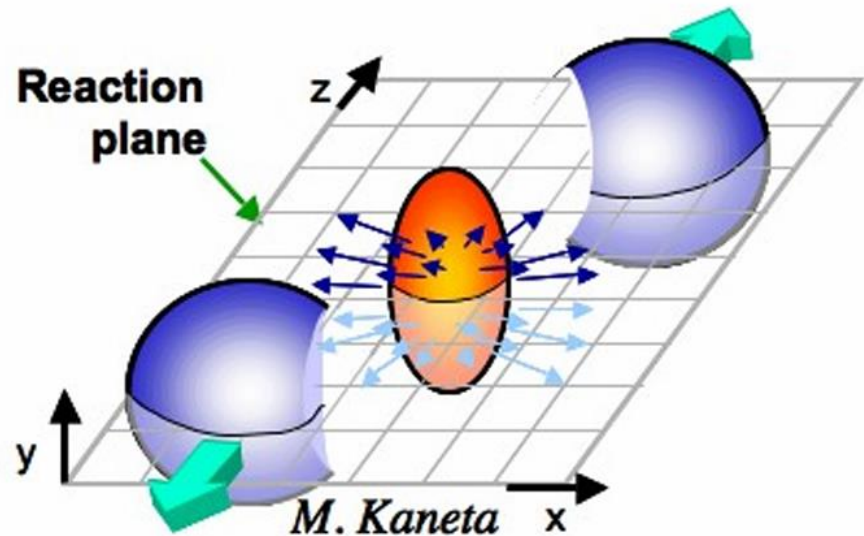
\Rightarrow (フリーズアウト時の) 磁場はゼロと一貫 [STAR (2023)]
(まだゆるい制限だけど: $eB \lesssim 10^{13} \text{ T} \sim (50 \text{ MeV})^2$)

基礎(5/5): Global → Local

- ・重イオン系はぜんぜん一様じゃないので、
全角運動量由来のglobalな渦度だけでなく、localな渦度も存在する
⇒ スピン偏極は一様じゃなくて、分布(方位角依存、ラピディティ依存、...)を持つ

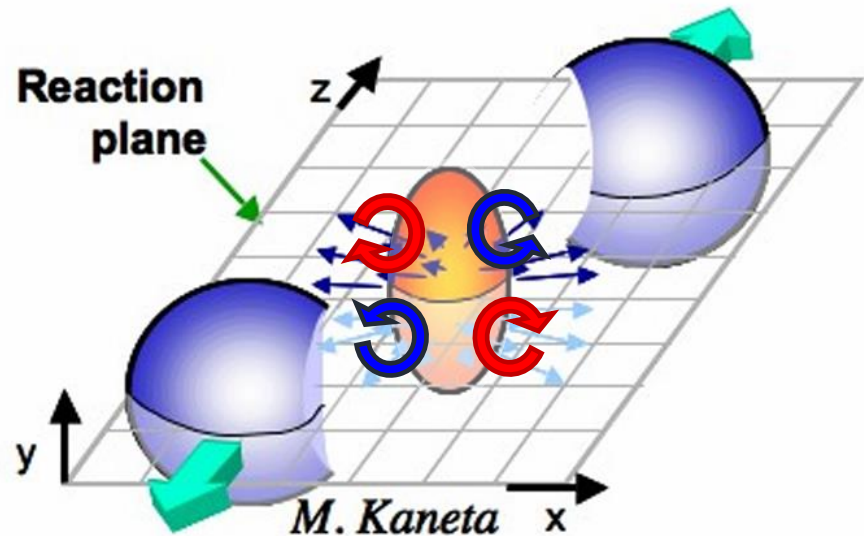
基礎(5/5): Global → Local

- 重イオン系はぜんぜん一様じゃないので、全角運動量由来のglobalな渦度だけでなく、localな渦度も存在する
⇒ スピン偏極は一様じゃなくて、分布(方位角依存、ラピディティ依存、...)を持つ
- localな渦度の源は何？ ⇒ たくさんある
代表例: 楕円フローによる渦度 (ほかの例: ジェット、非対称衝突、高次フロー、...)



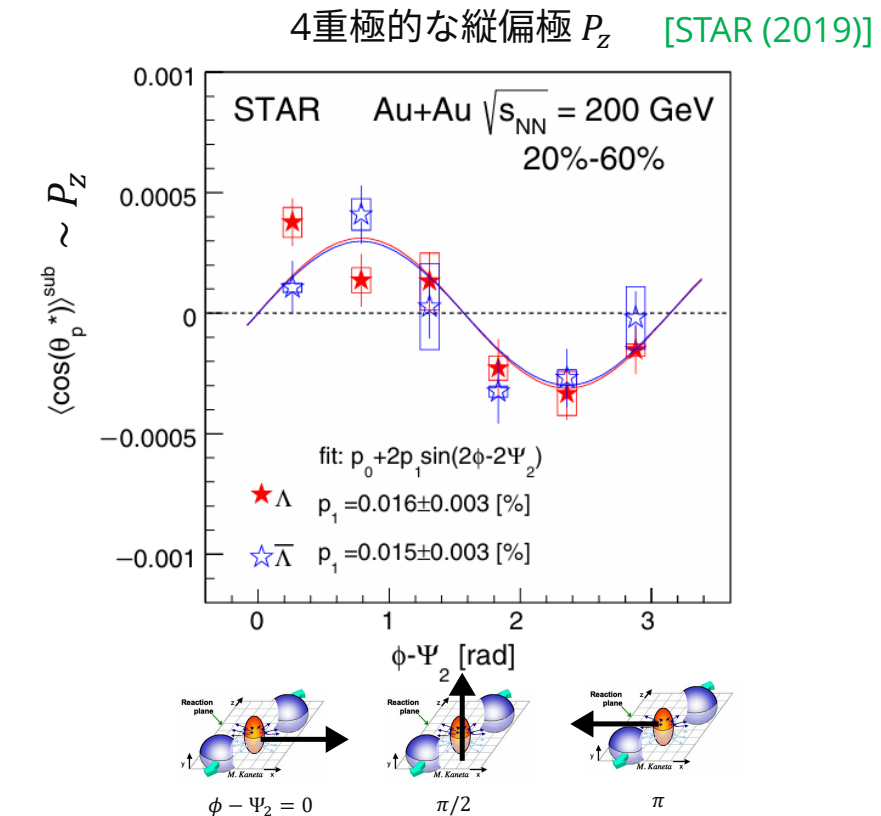
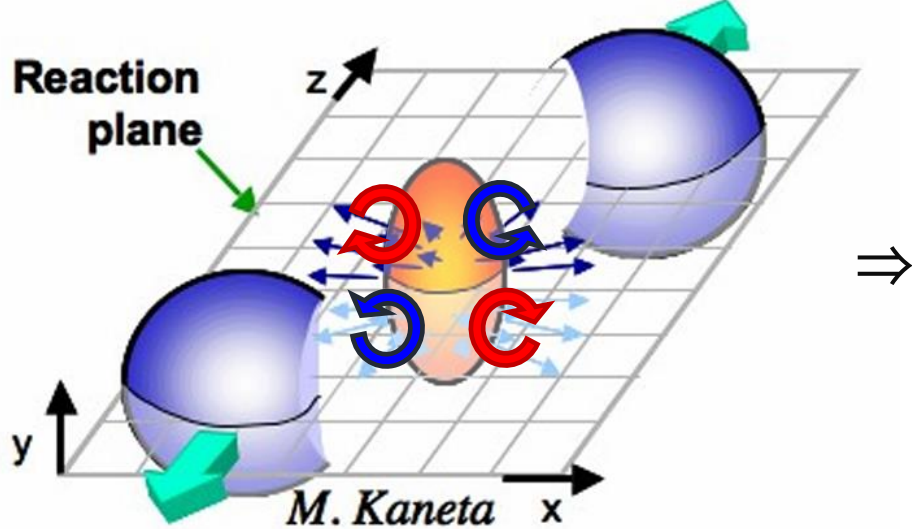
基礎(5/5): Global → Local

- 重イオン系はぜんぜん一様じゃないので、全角運動量由来のglobalな渦度だけでなく、localな渦度も存在する
⇒ スピン偏極は一様じゃなくて、分布(方位角依存、ラピディティ依存、...)を持つ
- localな渦度の源は何？ ⇒ たくさんある
代表例: 楕円フローによる渦度 (ほかの例: ジェット、非対称衝突、高次フロー、...)



基礎(5/5): Global → Local

- 重イオン系はぜんぜん一様じゃないので、全角運動量由来のglobalな渦度だけでなく、localな渦度も存在する
⇒ スピン偏極は一様じゃなくて、分布(方位角依存、ラピディティ依存、...)を持つ
- localな渦度の源は何？ ⇒ たくさんある
代表例: 楕円フローによる渦度 (ほかの例: ジェット、非対称衝突、高次フロー、...)



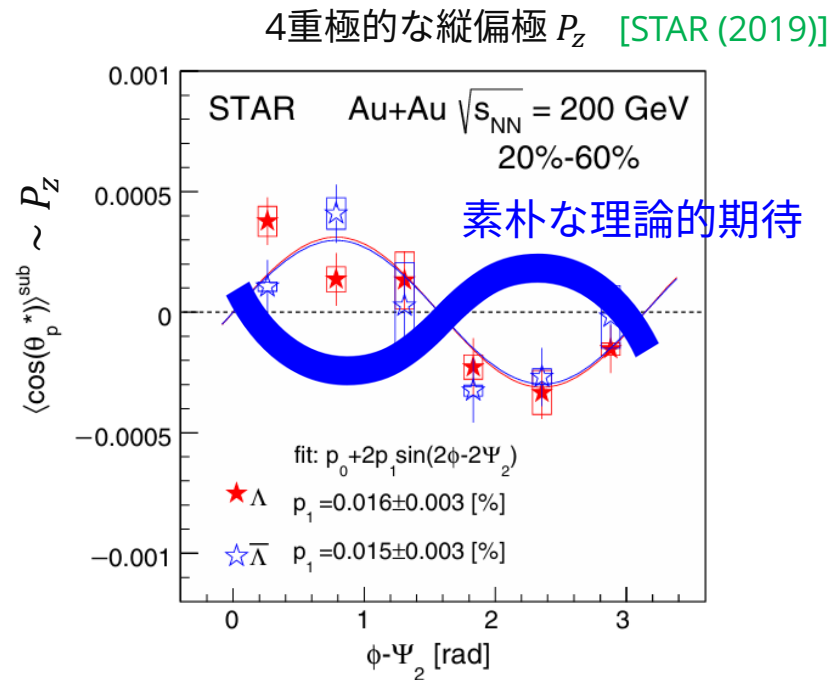
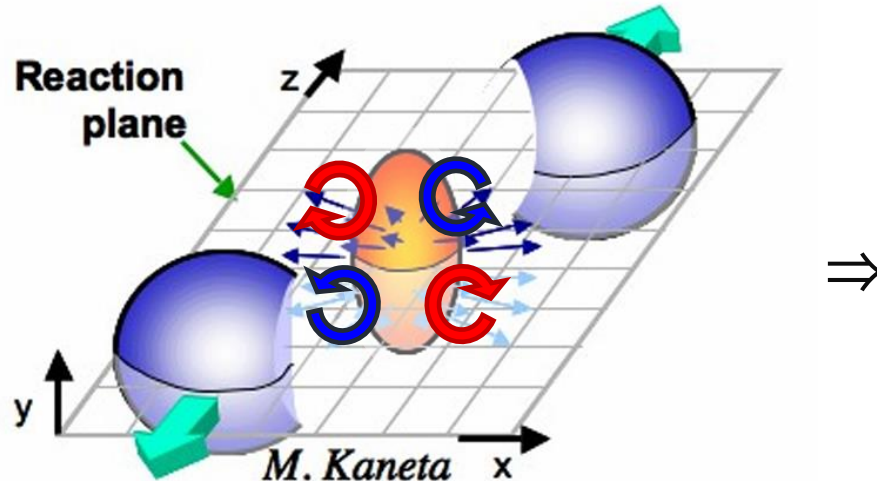
発展(1/3): local ∧ 偏極の “spin puzzle”

- Localなスピン偏極の実験結果が謎

発展(1/3): local ∧ 偏極の “spin puzzle”

- Localなスピン偏極の実験結果が謎

⇨ よくよく見ると符号が変！ 素朴には、 $E \rightarrow E - \omega \cdot s$ だから $\omega \parallel s$



- 少なくとも、素朴なスピン渦度結合だけでは説明ができない
⇒ “spin puzzle” (“sign problem”とか“spin sign puzzle”などとも)

発展(2/3): local \wedge 偏極の “spin puzzle” の理論

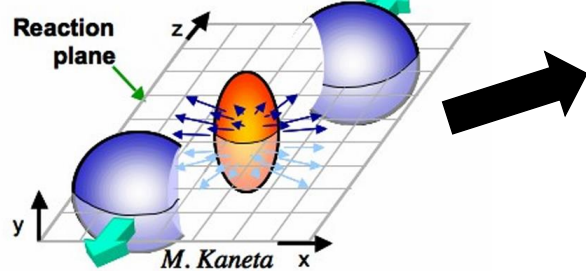
- ・ いろんな理論的な提案がある (Feed down効果、サイドジャンプ、...)
- ・ 有力候補: shear induced spin polarization
= ずり変形 (shear) によるスピン偏極

[Fu et al. (2021)] [Becattini et al. (2021)]
cf. 弾性体などのstrain induced spin polarizationの流体版

発展(2/3): local ハ 偏極の “spin puzzle”的理論

- いろんな理論的な提案がある (Feed down効果、サイドジャンプ、...)
- 有力候補: shear induced spin polarization
= ずり変形 (shear) によるスピン偏極

橿円フローによる勾配



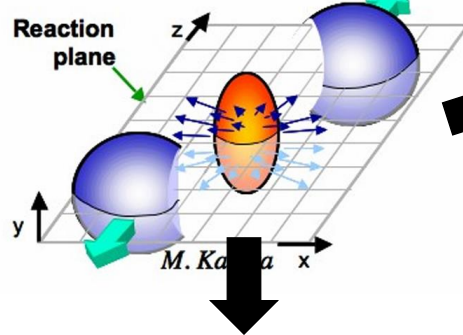
[Fu et al. (2021)] [Becattini et al. (2021)]

cf. 弹性体などのstrain induced spin polarizationの流体版

発展(2/3): local ハ 偏極の “spin puzzle”的理論

- いろんな理論的な提案がある (Feed down効果、サイドジャンプ、...)
- 有力候補: shear induced spin polarization
= ずり変形 (shear) によるスピン偏極

橿円フローによる勾配



渦度しかない(寄与しない)

[Fu et al. (2021)] [Becattini et al. (2021)]
cf. 弹性体などのstrain induced spin polarizationの流体版

勾配は、複数の独立成分を一般に持つ

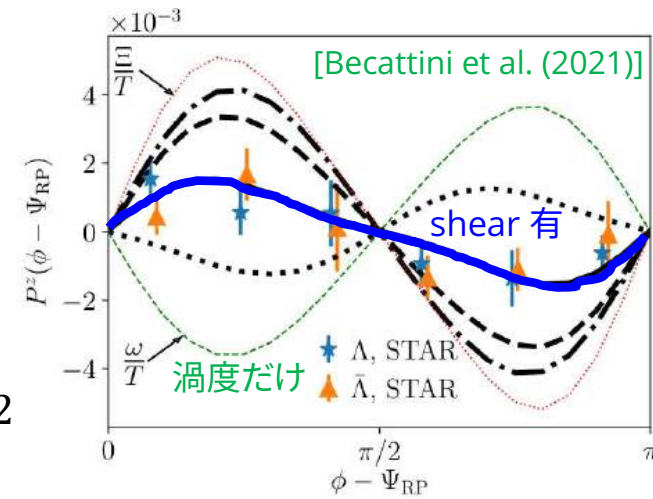
- 例: 速度勾配: $\partial_x v_y = (\partial_x v_y - \partial_y v_x)/2 + (\partial_x v_y + \partial_y v_x)/2$
反対称部分 $\sim \text{rot } v$ = 渦度 対称部分 = ずり変形 (shear)

- 独立成分に対応した寄与が原理的には存在

⇒ スピン偏極 = 渦度 + ずり (+ その他: 温度勾配、バリオン密度勾配、...)

注: 対称性・熱力学・パワー勘定などから寄与が消えることもある

例: 大域熱平衡ではずりは消える ⇒ 「大域熱平衡を仮定する」と渦度だけがスピン偏極に寄与



[Becattini (2012)]

発展(3/3): 別の“spin puzzle” = ベクター中間子のglobalスピン偏極

- ・実はglobalなスピンも完全に理解できているわけではない...
⇒ ベクトル中間子のglobalスピン偏極

発展(3/3): 別の“spin puzzle” = ベクトル中間子のglobalスピン偏極

- ・ 実はglobalなスピンも完全に理解できているわけではない...

⇒ ベクトル中間子のglobalスピン偏極

- ・ アイデア: クォークが偏極していると、 $| \text{ベクトル中間子} \rangle$ = 特定のスピン状態はできづらく/易くなる

$$|s_z = +1\rangle = |\uparrow\uparrow\rangle$$
$$|s_z = 0\rangle = (|\uparrow\downarrow\rangle + |\downarrow\uparrow\rangle)/\sqrt{2}$$
$$|s_z = -1\rangle = |\downarrow\downarrow\rangle$$

[Liang, Wang (2005)]

⇒ Prob. ($|s_z = 0\rangle$) は、偏極があると $1/3$ から 10^{-4} ($= (1\%)^2$) くらい下がる

期待: $\rho_{00} := \text{Prob. } (|s_z = 0\rangle)$

$$= \frac{1 - P_q P_{\bar{q}}}{3 + P_q P_{\bar{q}}} \approx \frac{1}{3} - \frac{4}{9} P_q P_{\bar{q}}$$

それぞれ
 $\omega/T \sim O(1\%)$

発展(3/3): 別の“spin puzzle” = ベクトル中間子のglobalスピン偏極

- ・実はglobalなスピンも完全に理解できているわけではない...

⇒ ベクトル中間子のglobalスピン偏極

- ・アイデア: クォークが偏極していると、 $| \text{ベクトル中間子} \rangle$ = 特定のスピン状態はできづらく/易くなる

$$|s_z = +1\rangle = |\uparrow\uparrow\rangle$$

$$|s_z = 0\rangle = (|\uparrow\downarrow\rangle + |\downarrow\uparrow\rangle)/\sqrt{2}$$

$$|s_z = -1\rangle = |\downarrow\downarrow\rangle$$

[Liang, Wang (2005)]

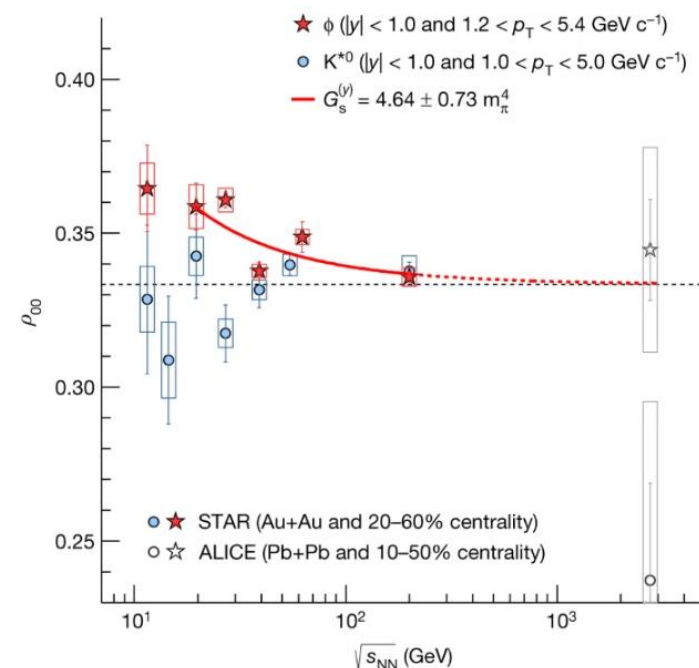
⇒ Prob. ($|s_z = 0\rangle$) は、偏極があると $1/3$ から 10^{-4} ($= (1\%)^2$) くらい下がる

期待: $\rho_{00} := \text{Prob. } (|s_z = 0\rangle)$

$$= \frac{1 - P_q P_{\bar{q}}}{3 + P_q P_{\bar{q}}} \approx \frac{1}{3} - \frac{4}{9} P_q P_{\bar{q}}$$

それぞれ
 $\omega/T \sim O(1\%)$

- ・実験結果: なぜか 10^{-1} くらい上がる
(ただし、Kは期待通り)



発展(3/3): 別の“spin puzzle” = ベクター中間子のglobalスピン偏極

理論的にはたくさんの可能性が考えられているが、謎

$$\Phi\text{-meson } \rho_{00} \approx \frac{1}{3} + C_A + C_B + C_S + C_F + C_L + C_H + C_\varphi + C_g$$

Physics Mechanisms	ρ_{00}
c_A : Quark coalescence + vorticity ^[1]	< 1/3 , magnitude ~ 10^{-4}
c_B : Quark coalescence + EM-field ^[1]	> 1/3, magnitude ~ 10^{-4}
c_S : Medium induced vector meson spectrum splitting ^[2]	> or < 1/3, magnitude unclear
c_F : Quark fragmentation ^[3]	> 1/3, magnitude ~ 10^{-5}
c_L : Local spin alignment ^[4]	< 1/3, magnitude ~ 10^{-2}
c_H : Second order hydro fields ^[5]	> or < 1/3, magnitude unclear
c_φ : Vector meson field ^[6]	> 1/3, magnitude can fit to data
c_g : Fluctuating glasma fields ^[7]	< 1/3, magnitude unclear

- [1]. Liang et. al., Phys. Lett. B 629, (2005);
Yang et. al., Phys. Rev. C 97, 034917 (2018);
Xia et. al., Phys. Lett. B 817, 136325 (2021);
Beccattini et. al., Phys. Rev. C 88, 034905 (2013).
- [2]. Liu and Li, arxiv:2206.11890;
Sheng et. al., Eur.Phys.J.C84, 299 (2024);
Wei and Huang, Chin.Phys.C47, 104105 (2023);
- [3]. Liang et. al., Phys. Lett. B 629, (2005).
- [4]. Xia et. al., Phys. Lett. B 817, 136325 (2021);
Gao, Phys. Rev. D 104, 076016 (2021).
- [5]. Kumar, Yang, Gubler, Phys.Rev.D109, 054038(2024);
Gao and Yang, Chin.Phys.C48, 053114 (2024);
Zhang, Huang, Beccattini, Sheng, 2024.
- [6]. Sheng et. al., Phys. Rev. D 101, 096005 (2020);
Phys. Rev. D 102, 056013 (2020);
Phys. Rev. Lett. 131, 042304 (2023).
- [7]. Muller and Yang, Phys. Rev. D 105, L011901 (2022);
Kumar et.al., Phys. Rev. D108, 016020 (2023).

小まとめ: 重イオン衝突における強い渦度場の物理

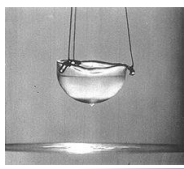
最強の渦度場



台風



洗濯機



超流動



QGP

10^{-1}Hz

10^{+2}Hz

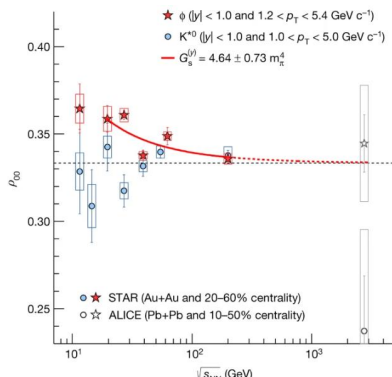
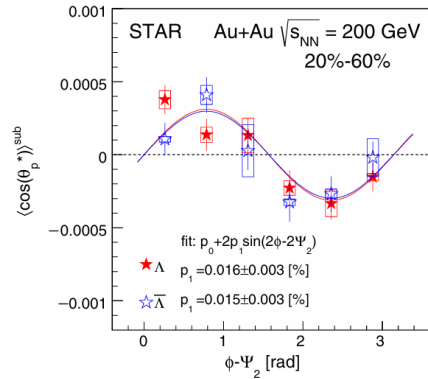
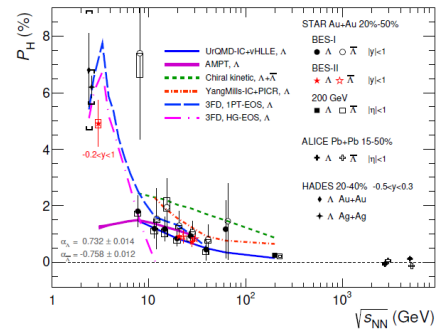
10^{+7}Hz

[Gomez et al. (2014)]

10^{+21}Hz



いろんな実験データ



最強の渦度場

⇒ 非自明なスピン・カイラリティ物理

- いろんなデータが出てきたが、わからないものもいろいろとある
- 分野横断的な広がり: スピントロニクスとの接点
e.g., 輸入: スピン渦度結合、バリオンスピンホール効果、...
輸出: 相対論的スピン流体、shear induced spin pol.、...

目次

1. 強いカラー場

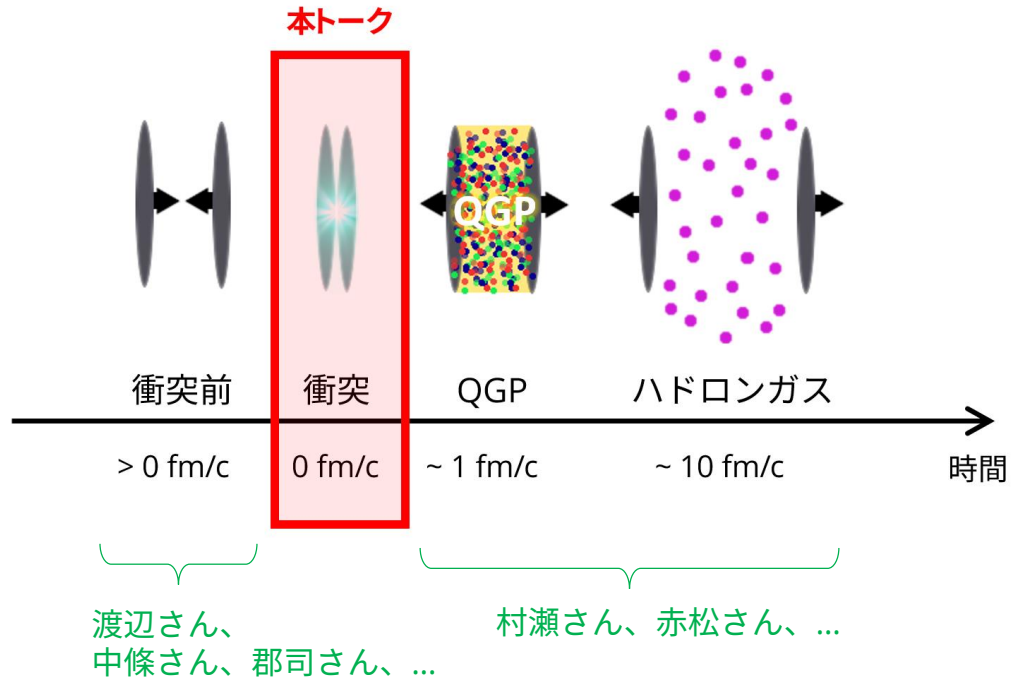
2. 強い電磁場

3. 強い渦度場

今日の話

目的:

重イオン衝突の初期
ダイナミクスの基礎と発展



なぜ初期ダイナミクス?:

すごい非平衡なので、すごい「極端な状況」 or 「強い場」が実現
⇒ 「極端」 ≠ 「大事じゃない/楽しくない」。むしろ逆で「大事かつ楽しい」

例1) QGP生成過程という重イオン衝突の「ブラックボックス」の解明

⇒ 強いカラー場

例2) 他の物理系では実現できない「極限状況」を作る道具 = 新物理のチャンス

⇒ 強い電磁場、強い渦度場